

Fizyka Procesów Klimatycznych

Wykład 12 Aerozol

prof. dr hab. Szymon Malinowski

Instytut Geofizyki, Wydział Fizyki

Uniwersytet Warszawski

malina@igf.fuw.edu.pl

dr hab. Krzysztof Markowicz

Instytut Geofizyki, Wydział Fizyki

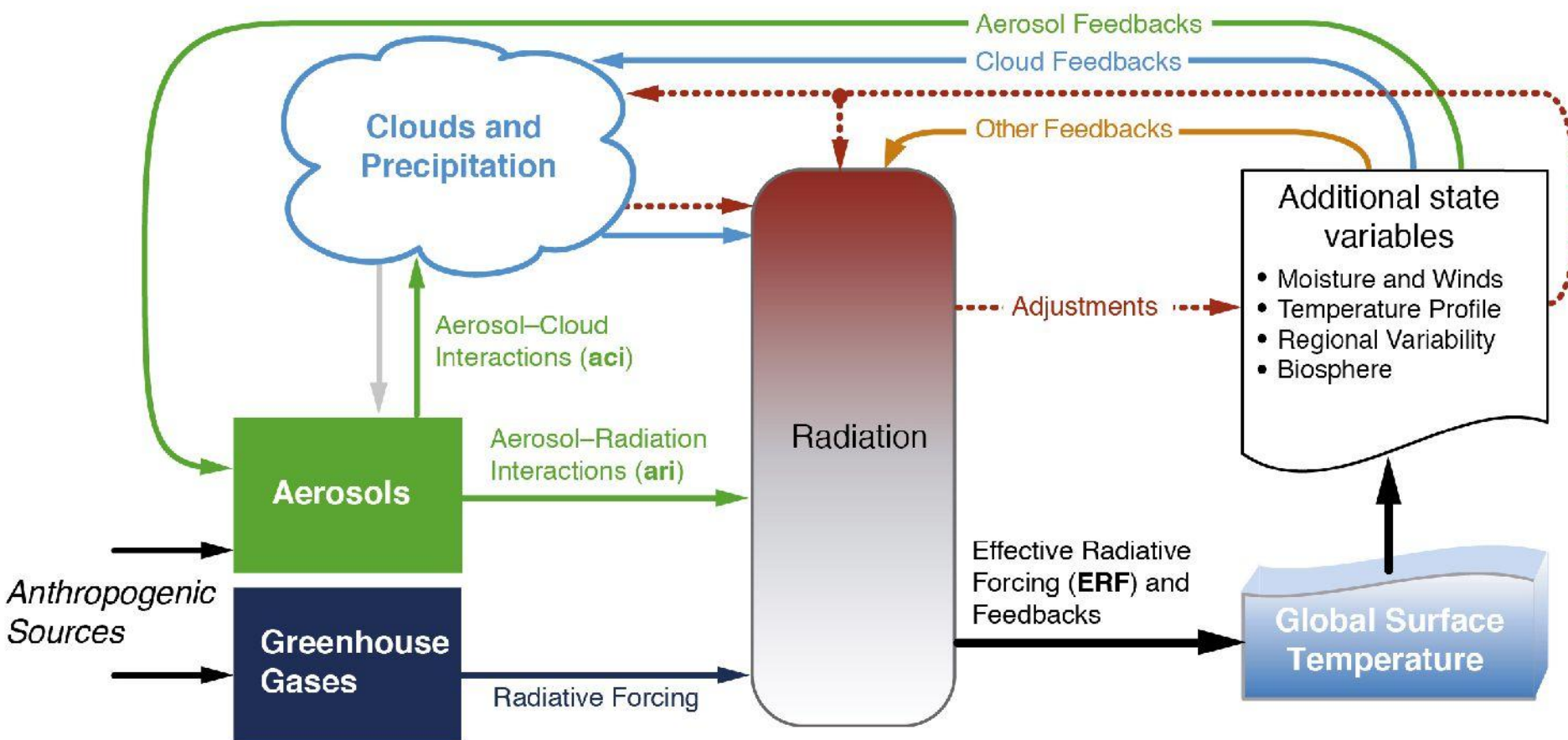
Uniwersytet Warszawski

kmark@igf.fuw.edu.pl

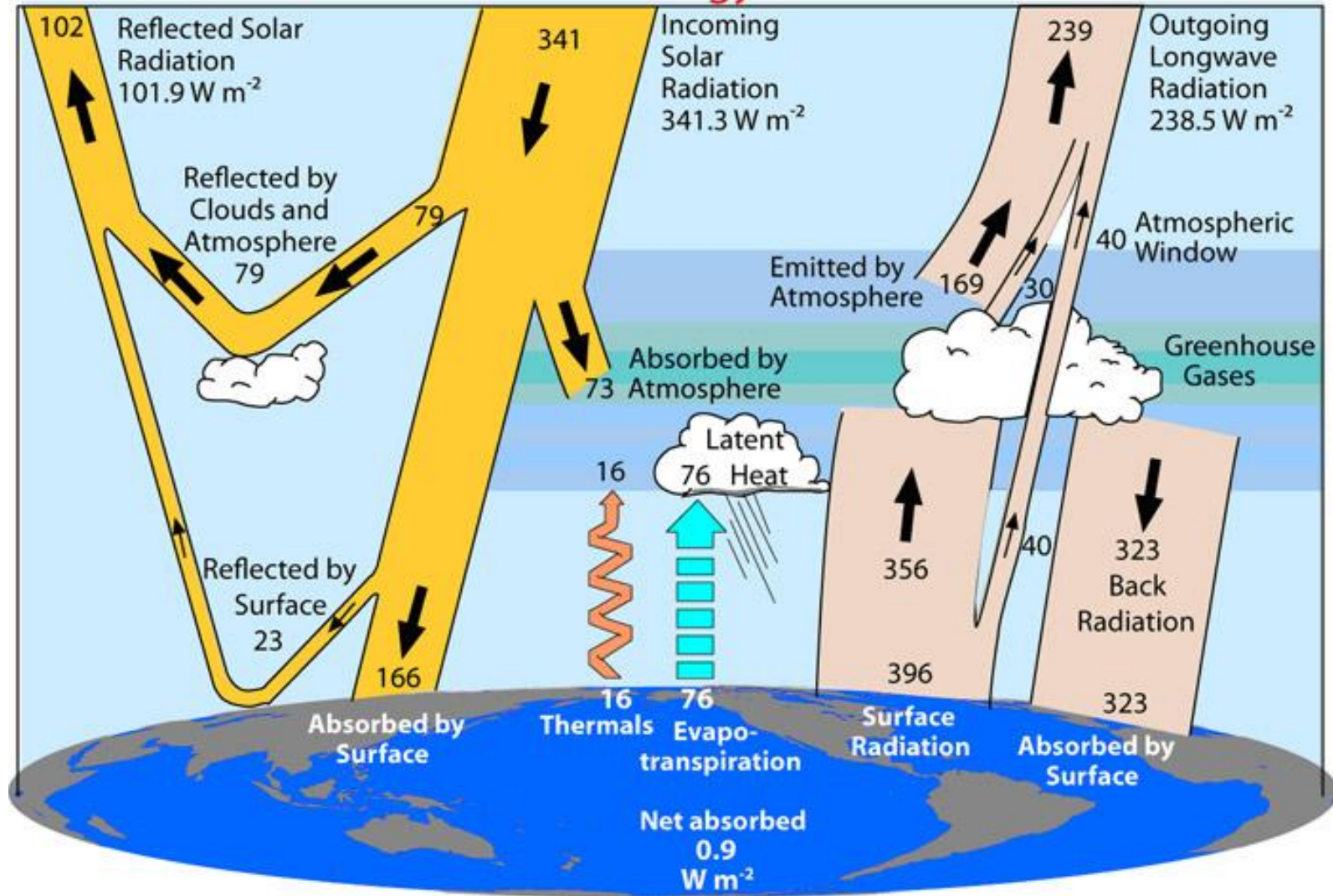
A satellite image of the North African and European continent. The sky is filled with various types of clouds, from wispy cirrus to thicker cumulus. Over the Sahara Desert and the Mediterranean Sea, there is a significant concentration of brownish-yellow aerosols, likely dust or smoke, which appears as a large plume extending from the desert across the sea towards Europe. The landmasses are shown in green and brown tones, representing vegetation and soil. The Mediterranean Sea is a deep blue.

Wpływ aerozoli i chmur na system klimatyczny

Wymuszenia i sprzężenia w systemie klimatycznym z udziałem gazów cieplarnianych, aerozoli i chmur wg. V Raportu IPCC



Global Energy Flows W m^{-2}



Bilans promieniowania słonecznego oraz ziemskiego atmosferze
 (Trenberth, K.E., J.T. Fasullo, and J. Kiehl, 2009).

Rodzaje aerozolu:

- sól morska
 - drobiny piasku
 - pył wulkaniczny
 - fragmenty roślin, nasiona zarodniki
-
- pyły antropogeniczne
 - sadza (elemental carbon), organic carbon
 - siarczany, azotany
 - związki organiczne i nieorganiczne
 - i inne...

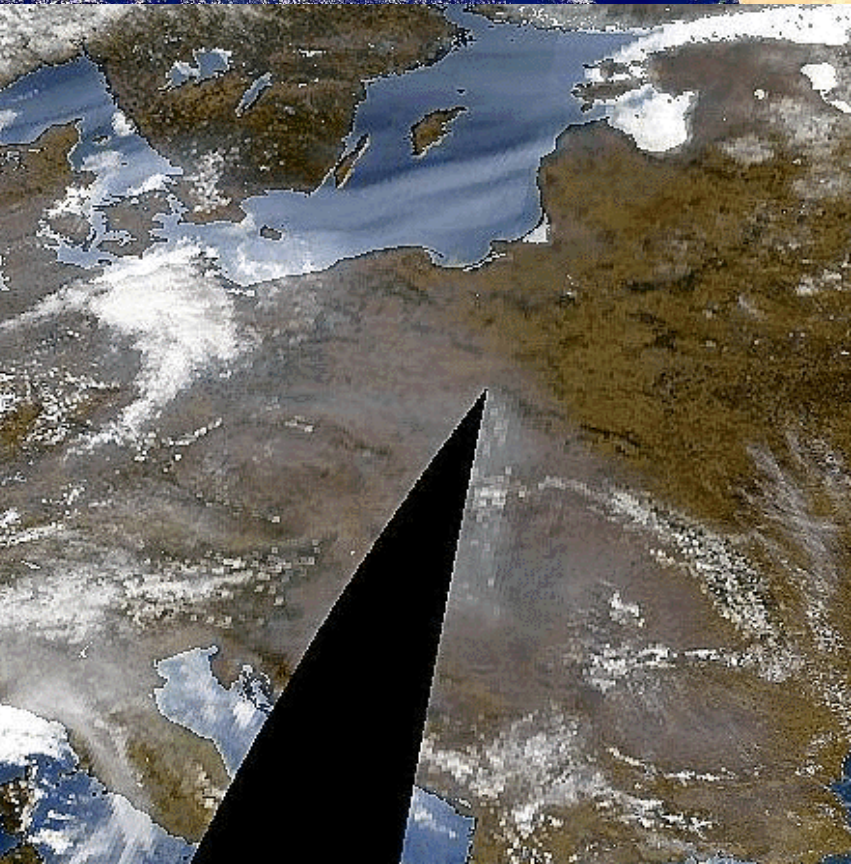
Zanieczyszczenia atmosfery zwane inaczej **aerozem** to małe cząstki stałe lub ciekłe powstające w sposób naturalny oraz w wyniku działalności gospodarczej człowieka.

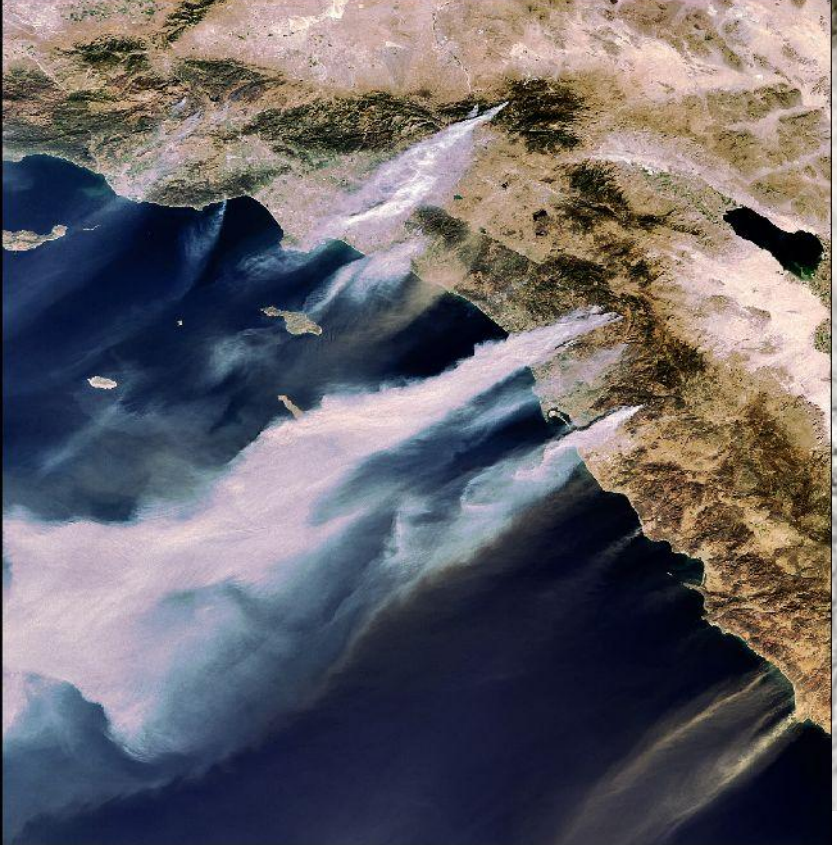


Aerozol naturalne.

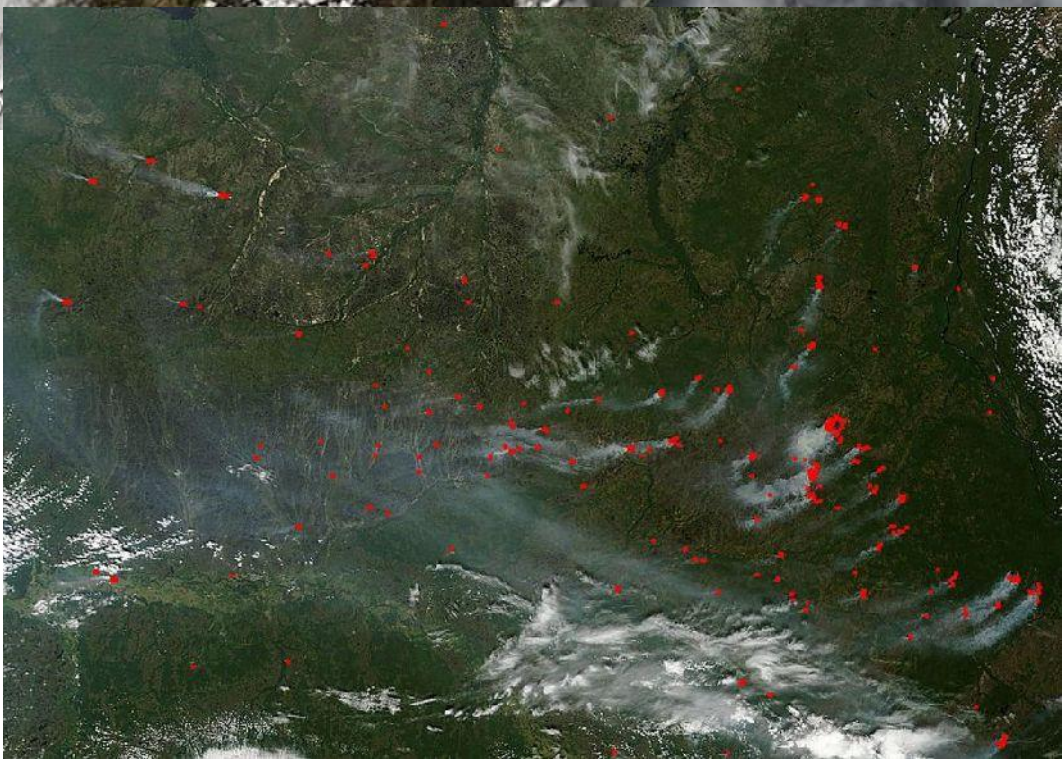


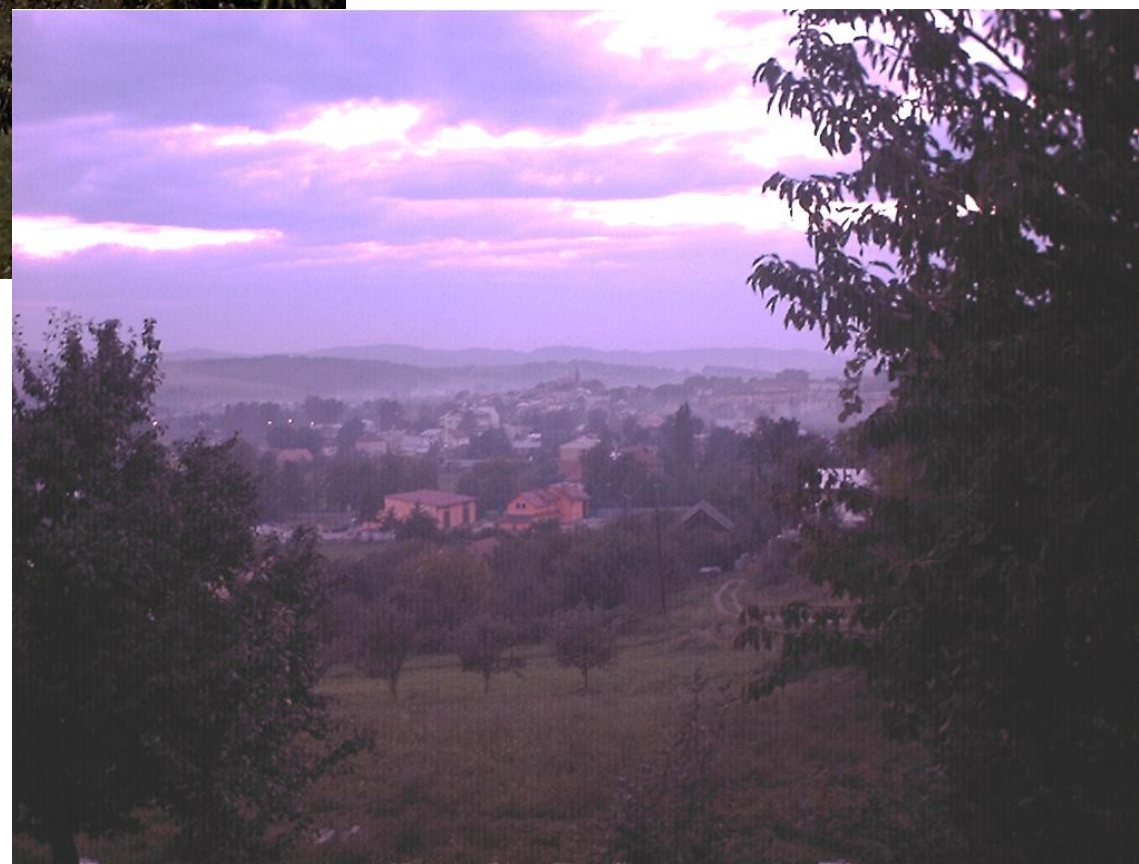
Aerozol antropogeniczne





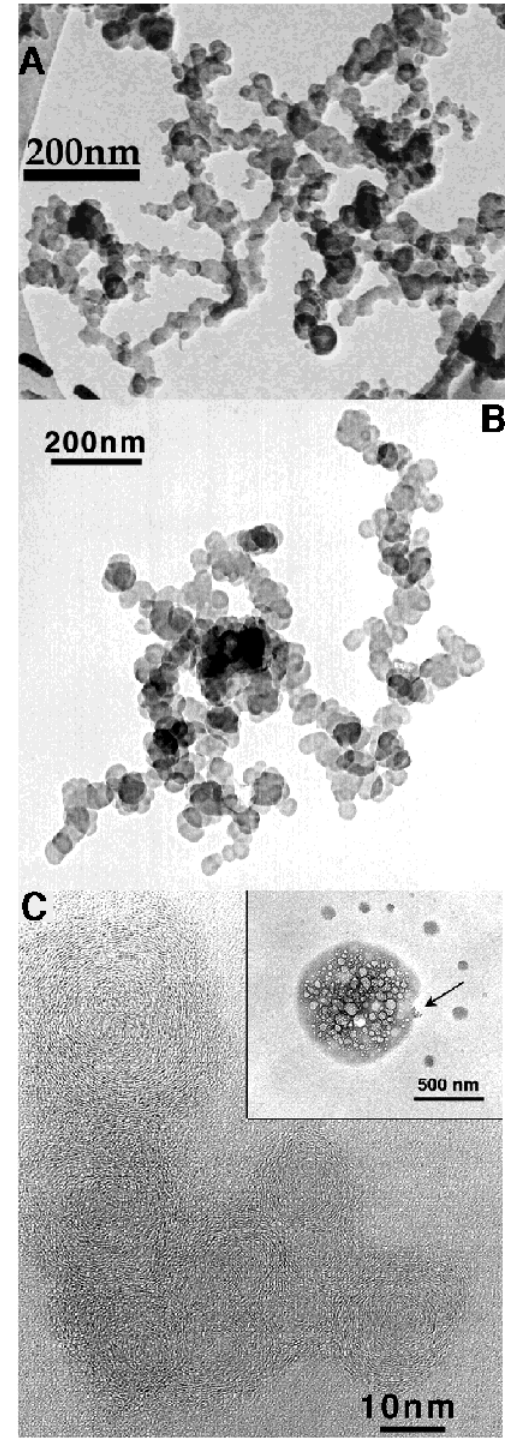
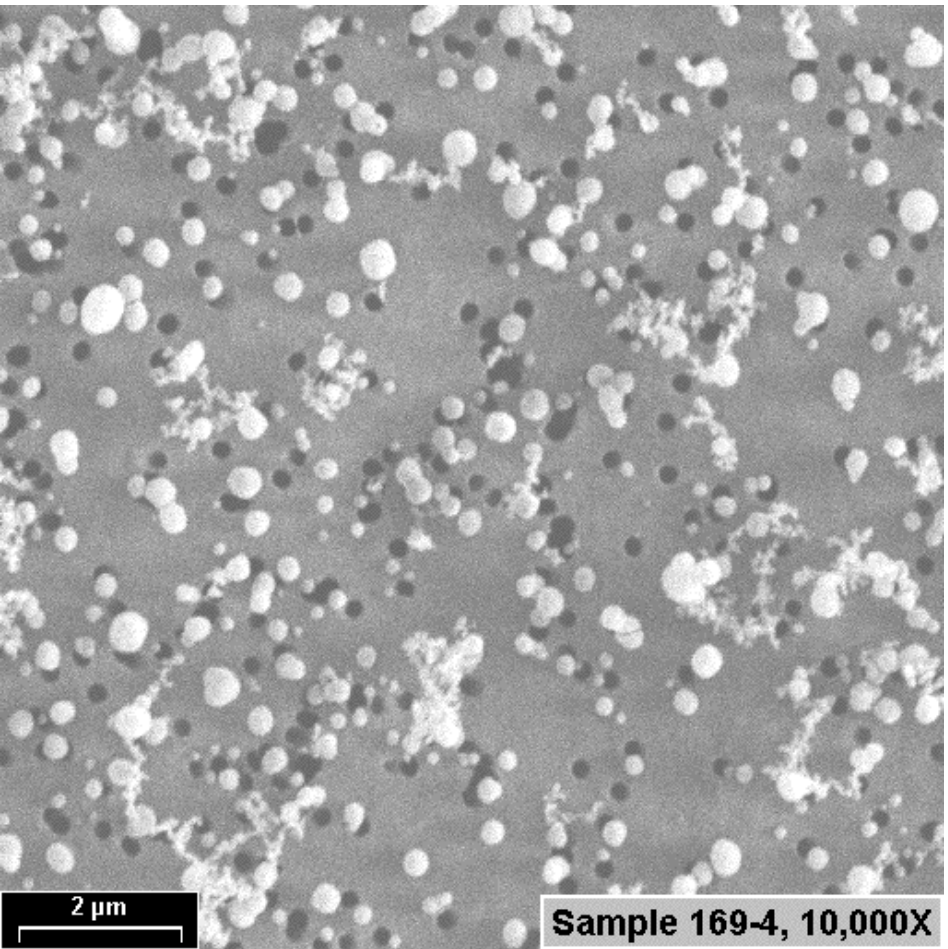
Pożary lasów, torfowisk,



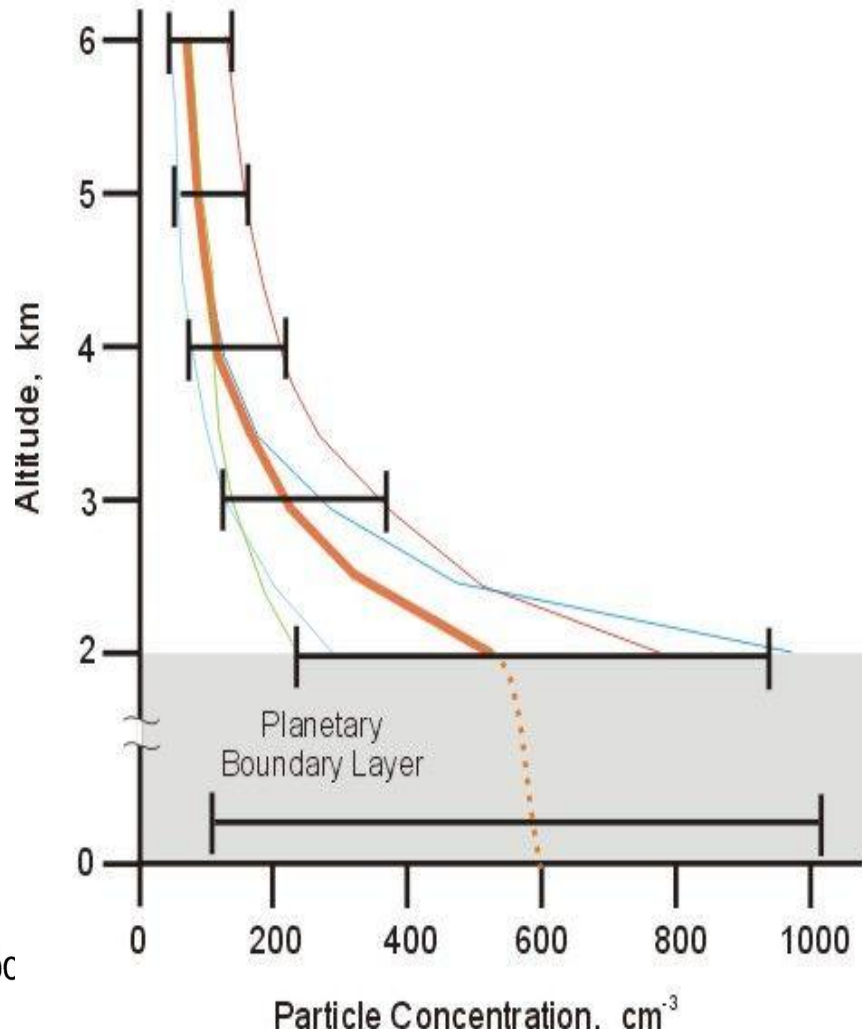
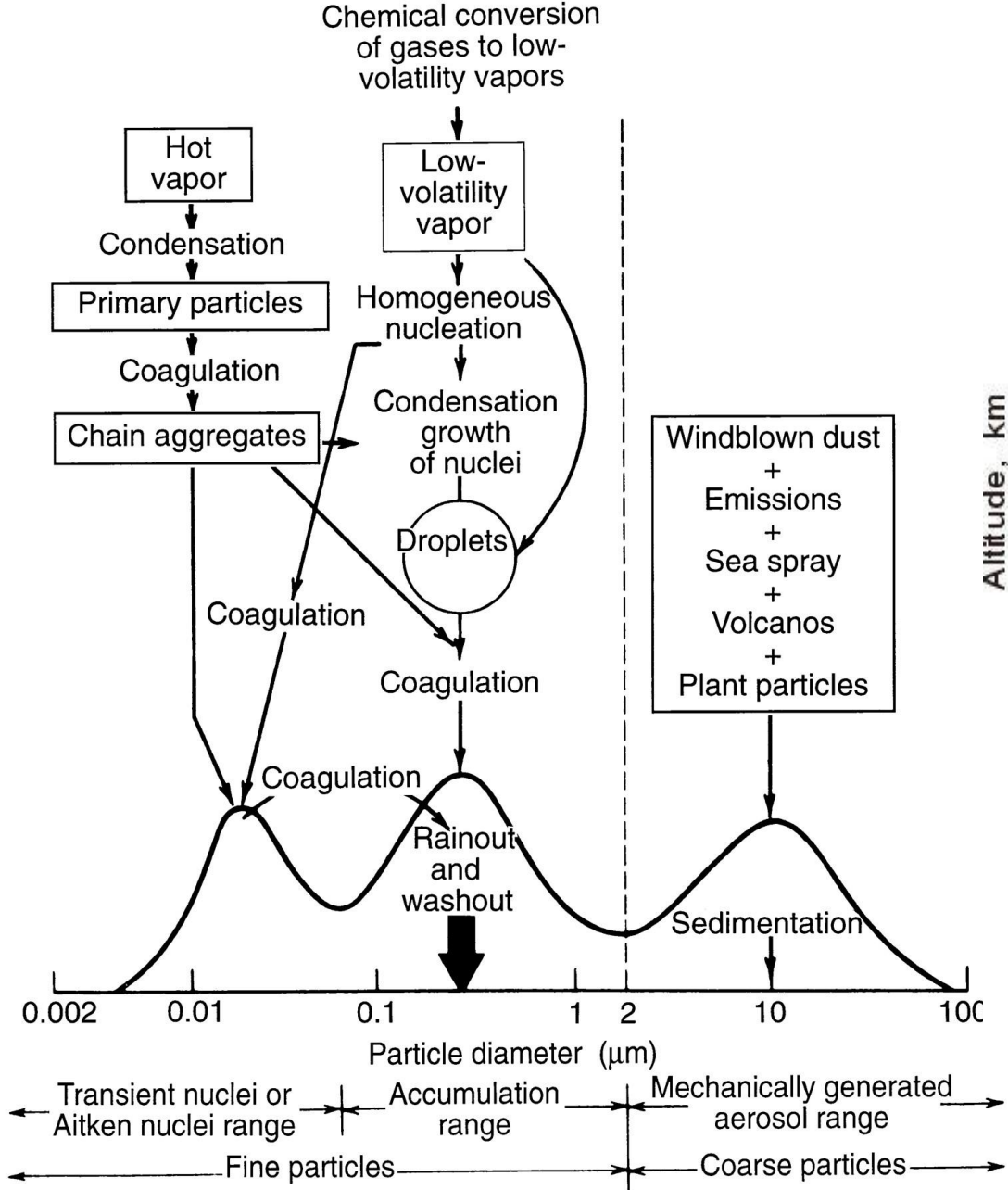


Zmętnienie atmosfery
powstałe w wyniku
obecności aerozoli

Wielkość i kształt cząstek aerozolu



AITKEN PARTICLES



Podział aerozolu ze względu na ich rozmiar

W rozkładzie wielości aerozoli wyróżniany 3 charakterystyczne grupy cząstek:

- cząstki Aitkena (nucleation mod), $r < 0.05 \mu\text{m}$
- cząstki małe (accumulation mod), $0.05 < r < 0.5 \mu\text{m}$
- cząstki duże (coarse mod), $r > 0.5 \mu\text{m}$

Szczególnie istotne znaczenie w atmosferze z klimatycznego punktu widzenia mają ostatnie dwa typy cząstek.

Produkcja aerosolu

- produkcja mechaniczna (powstawanie soli morskiej podczas załamywania fal morskich czy wynoszenie pyłu pustynnego w czasie burz pyłowych)
- spalanie biomasy
- spalanie przemysłowe (pyły, gazy)
- konwersja gazu do cząstek np. do kwasu siarkowego czy azotowego

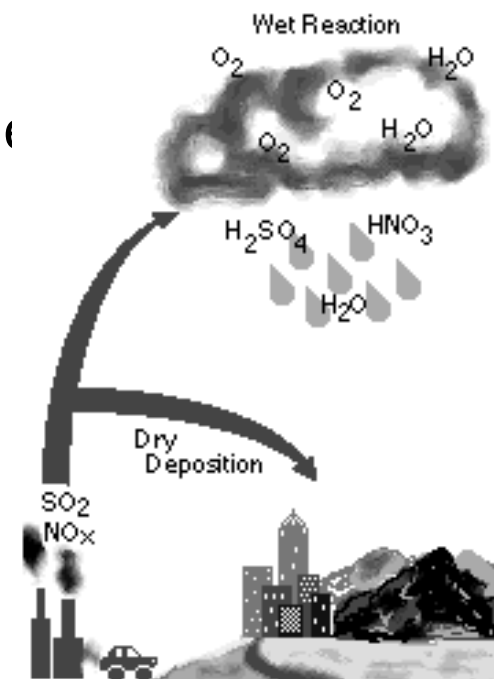
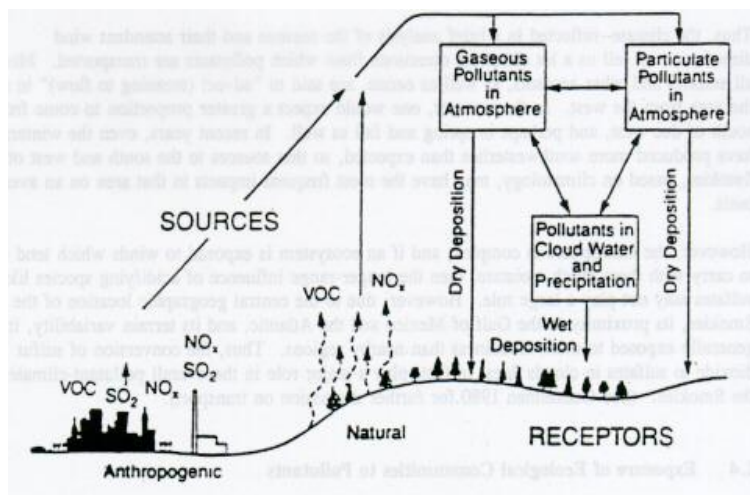
Usuwanie aerozolu z atmosfery

- Sucha depozycja

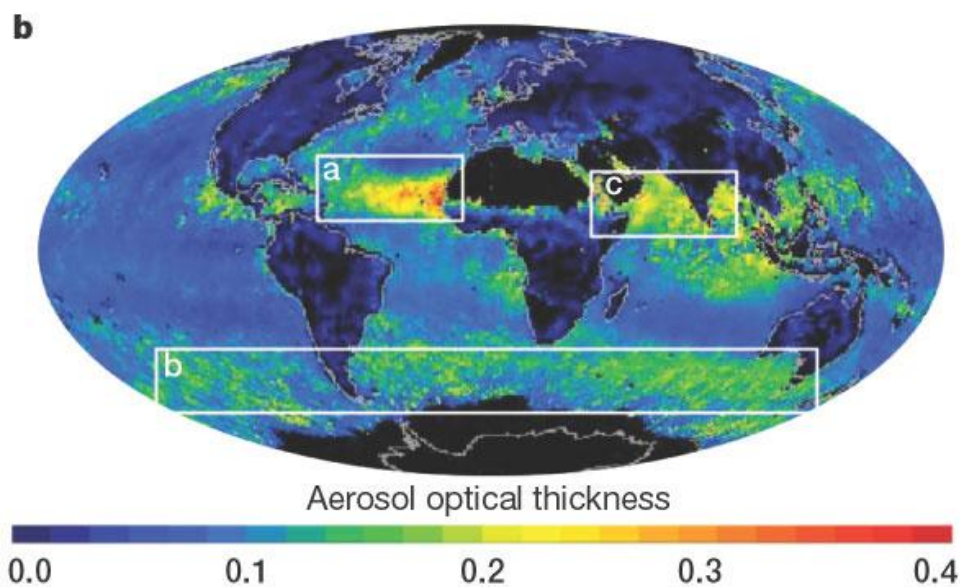
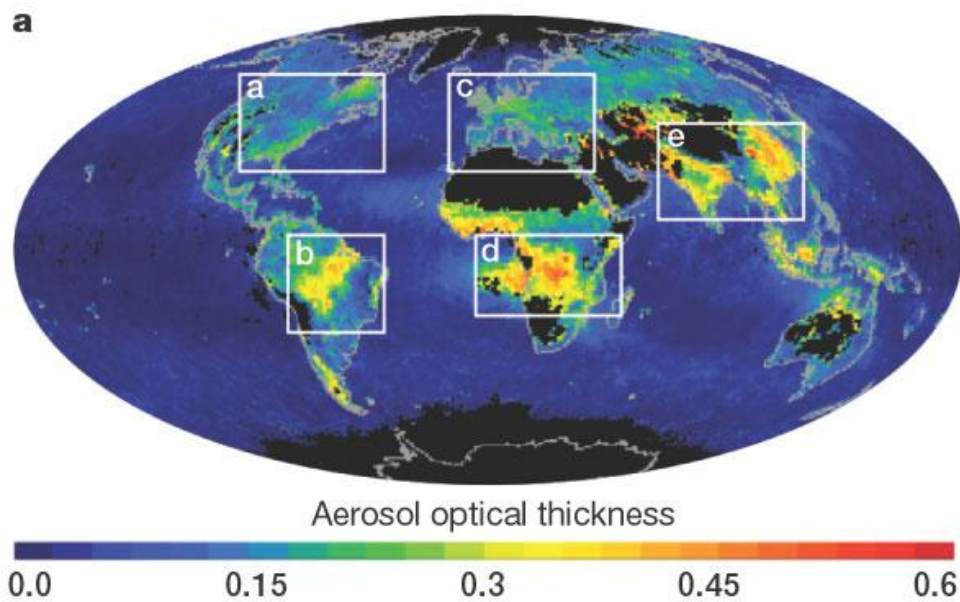
Sedimentacja – osiadanie grawitacyjne (efektywnie usuwane tylko duże cząstki)

- Wilgotna depozycja (wymywanie przez krople chmurowe lub krople deszczu).

Efektywne usuwanie cząstek z klasy akumulacyjnej



Grubość optyczna aerozolu (marzec- maj)



$$\tau(\lambda) = \pi \int Q_{\text{ext}} \left(\frac{2\pi r}{\lambda}, m \right) r^2 n_c(r) dr$$

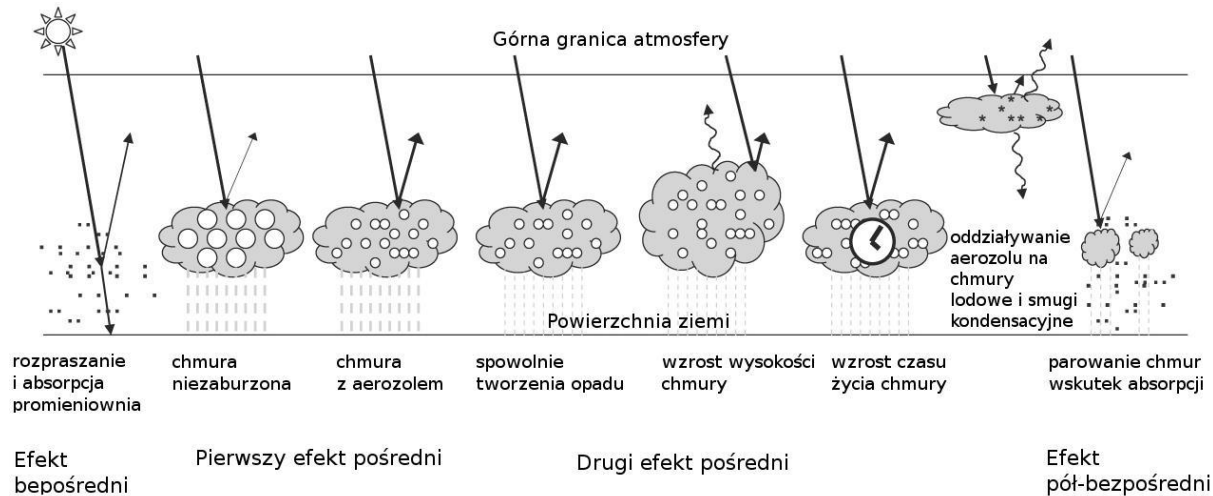
Q_e - efektywny przekrój czynny na ekstynkcję (rozpraszania+absorpcja)
 $n_c(r)$ - kolumnowy rozkład wielkości

$$F(\lambda) = F_o(\lambda) e^{-\tau}$$

Wpływ aerosolu na klimat Ziemi

Efekt bezpośredni (poprzez rozpraszczenie i absorpcję promieniowania w atmosferze)

Efekt pośredni (poprzez oddziaływanie aerosolu na własności mikrofizyczne chmur)



Wpływ aerosolu na klimat

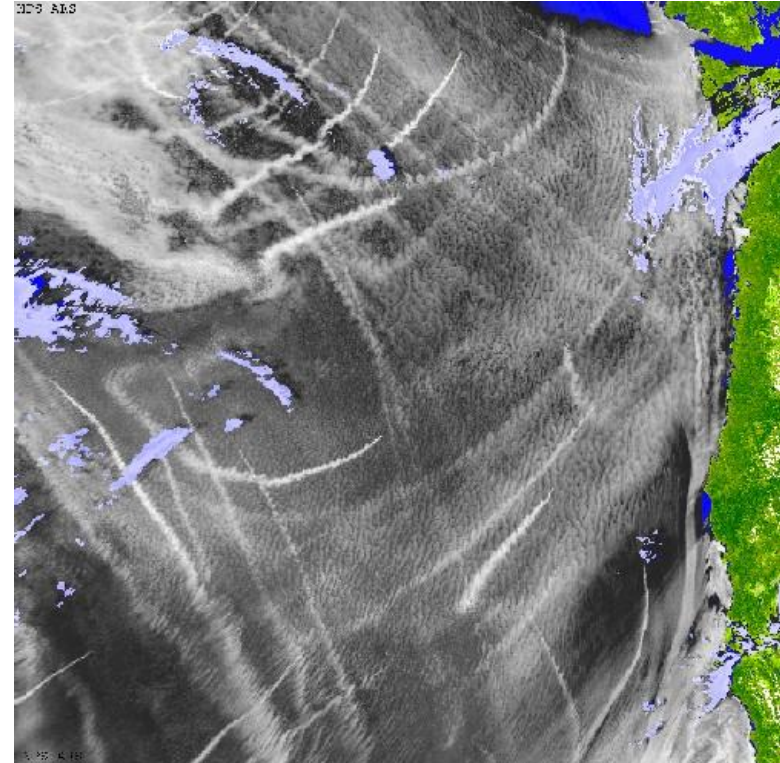
1) Efekt bezpośredni

poprzez rozpraszańie i pochłanianie promieniowania słonecznego dochodzącego do powierzchni Ziemi.



2) Efekt pośredni

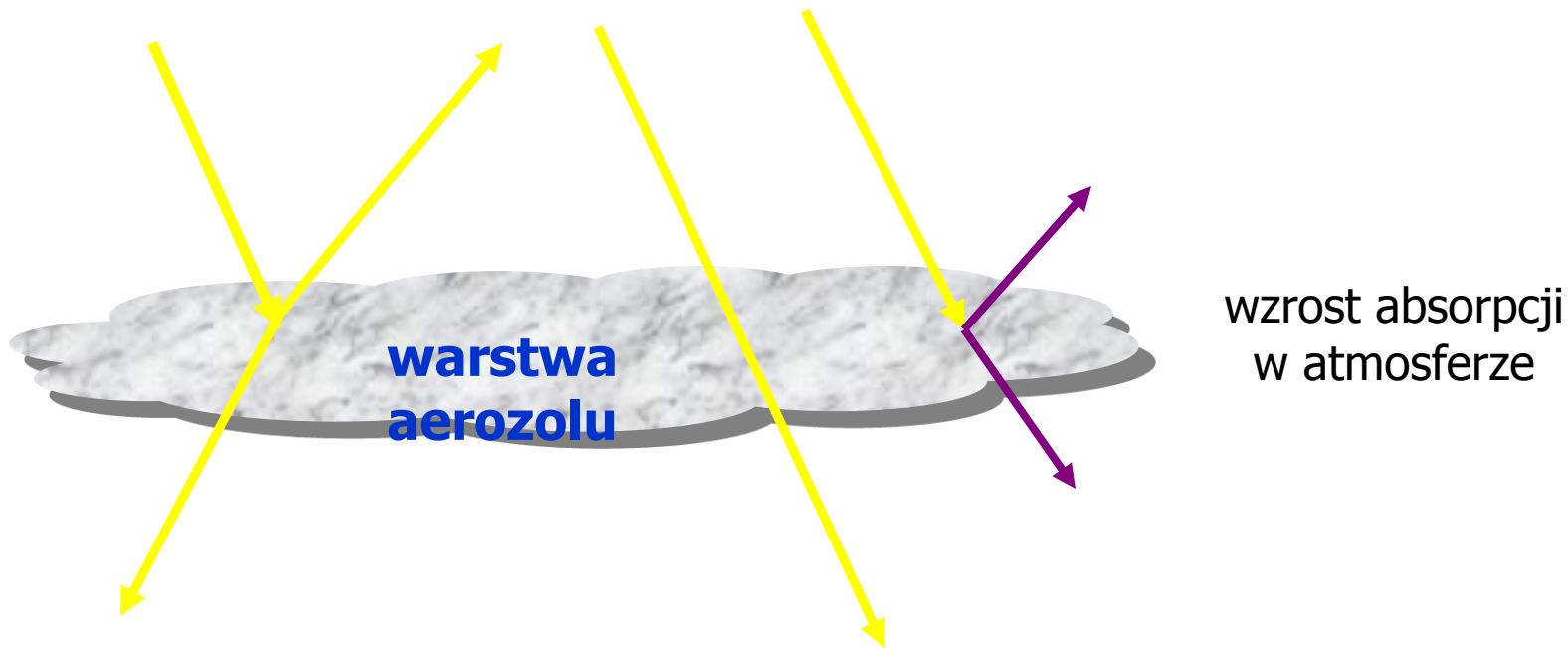
oddziaływanie aerosolu na własności chmur oraz ich czas życia



Aerozole chłodzą klimat!

Bezpośredni wpływ aerozoli na klimat

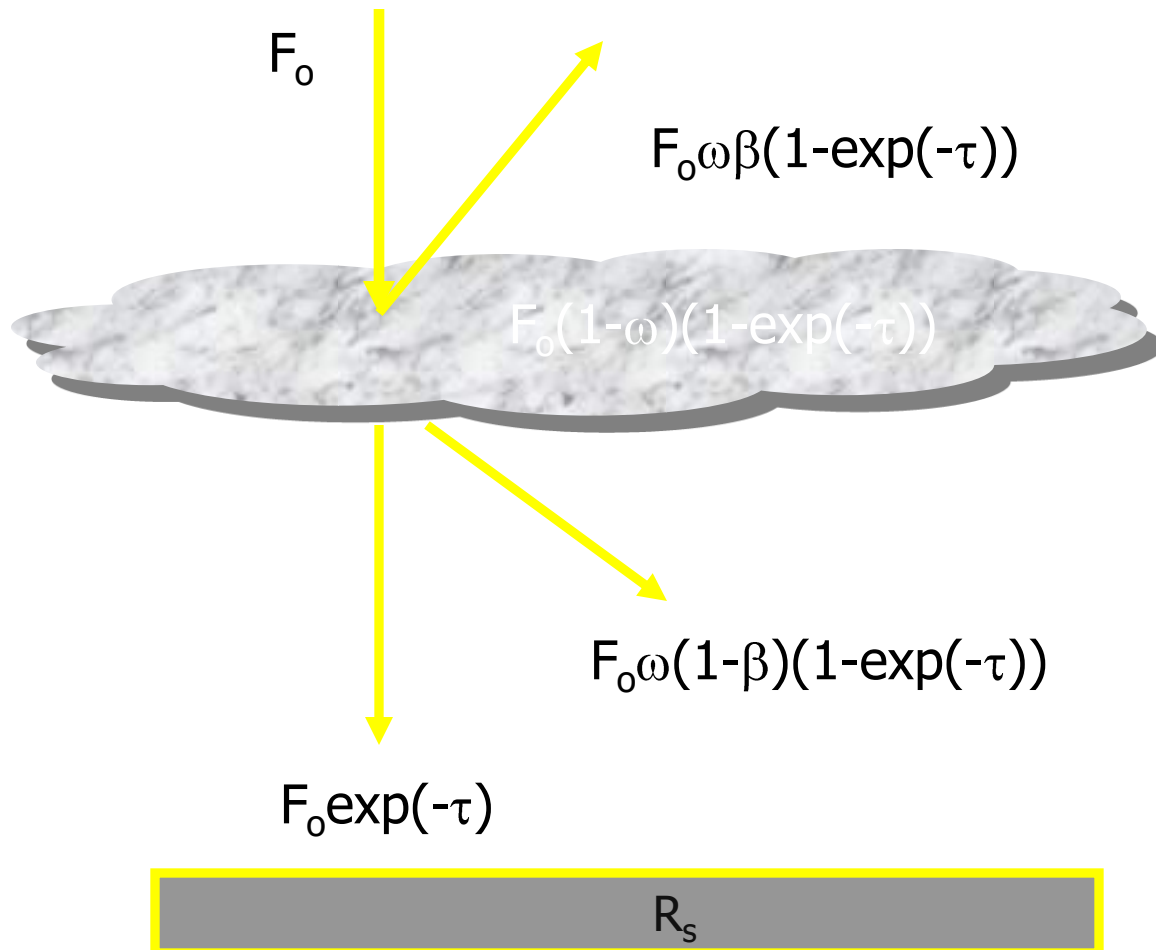
wzrost albeda planetarnego



redukcja promieniowania słonecznego
dochodzącego do powierzchni ziemi

wzrost absorpcji
w atmosferze

Efekt bezpośredni - prosty model radiacyjny



τ - grubość optyczna
aerozolu

ω - albedo pojedynczego
rozpraszczenia

$$\omega = \sigma_{\text{scat}} / \sigma_{\text{ext}}$$

β - część promieniowania
rozpraszczenia do tyłu

Dla molekuł $\beta=0.5$

Dla aerozoli β (0.1 –
0.2)

Transmisja przez warstwę
aerozolu

$$t = \exp(-\tau) + \omega(1-\beta)(1-\exp(-\tau))$$

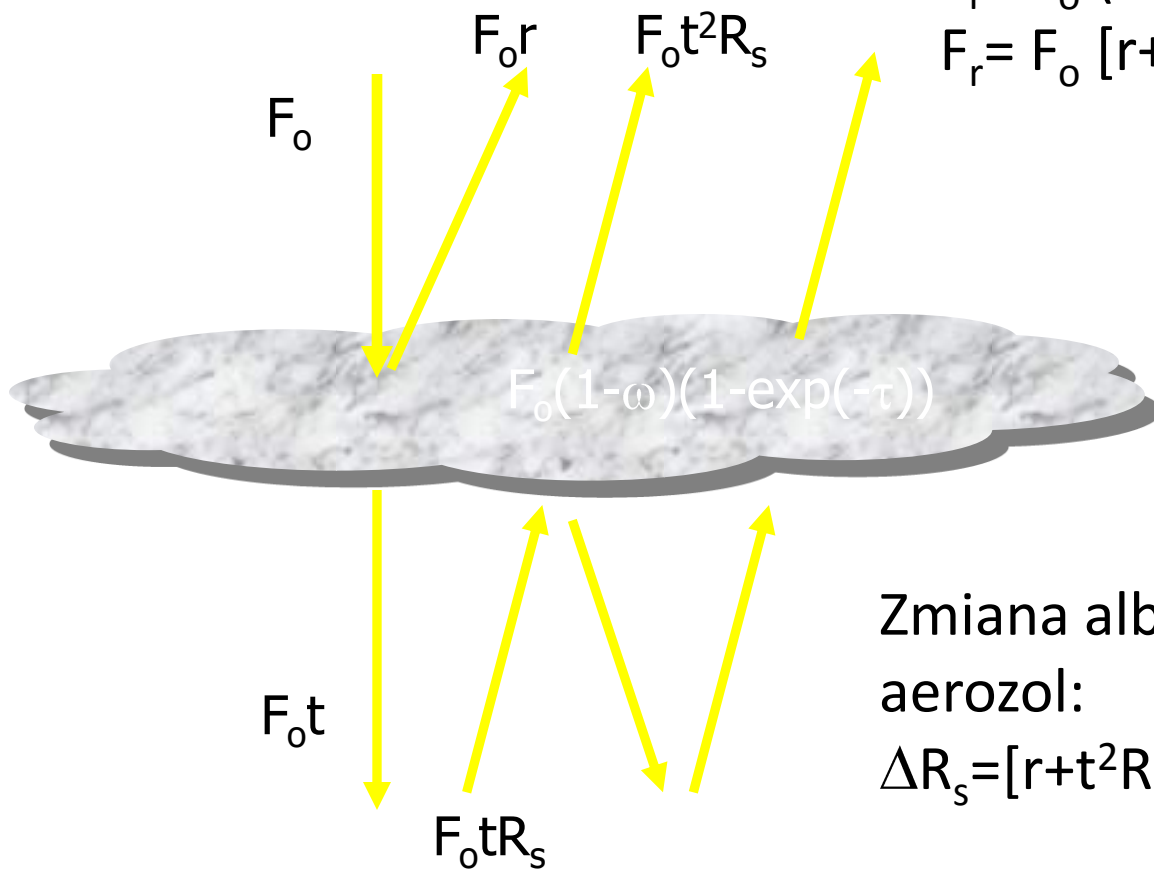
Odbicie od warstwy aerozolu

$$r = \omega\beta(1-\exp(-\tau))$$

Promieniowanie
wychodzące z atmosfery:

$$F_r = F_o (r + t^2 R_s + t^2 R_s^2 r + t^2 R_s^3 r^2 + \dots)$$

$$F_r = F_o [r + t^2 R_s / (1 - R_s r)]$$



Zmiana albeda planetarnego przez
aerozol:

$$\Delta R_s = [r + t^2 R_s / (1 - R_s r)] - R_s$$

R_s

Dla $\tau \ll 1$ (średnia wartość 0.1-0.2)

$$t = \exp(-\tau) + \omega(1-\beta)(1-\exp(-\tau))$$

$$r = \omega\beta(1-\exp(-\tau))$$

$$t = 1 - \tau + \omega(1-\beta)\tau$$

$$r = \tau\beta\omega$$

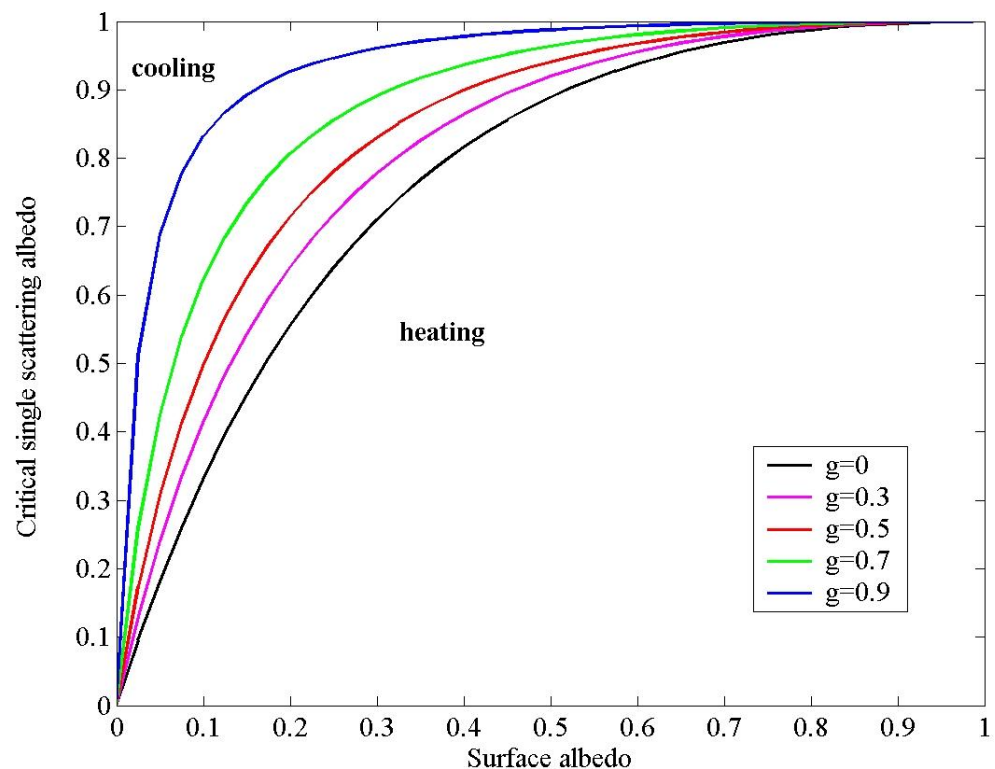
dla $\omega > \omega_c \Delta R_s > 0$: ochładzanie
dla $\omega < \omega_c \Delta R_s < 0$: ogrzewanie

$$\Delta R_s = \tau\omega\beta + [(1-R_s)^2 - 2R_s(1/\omega - 1)/\beta]$$

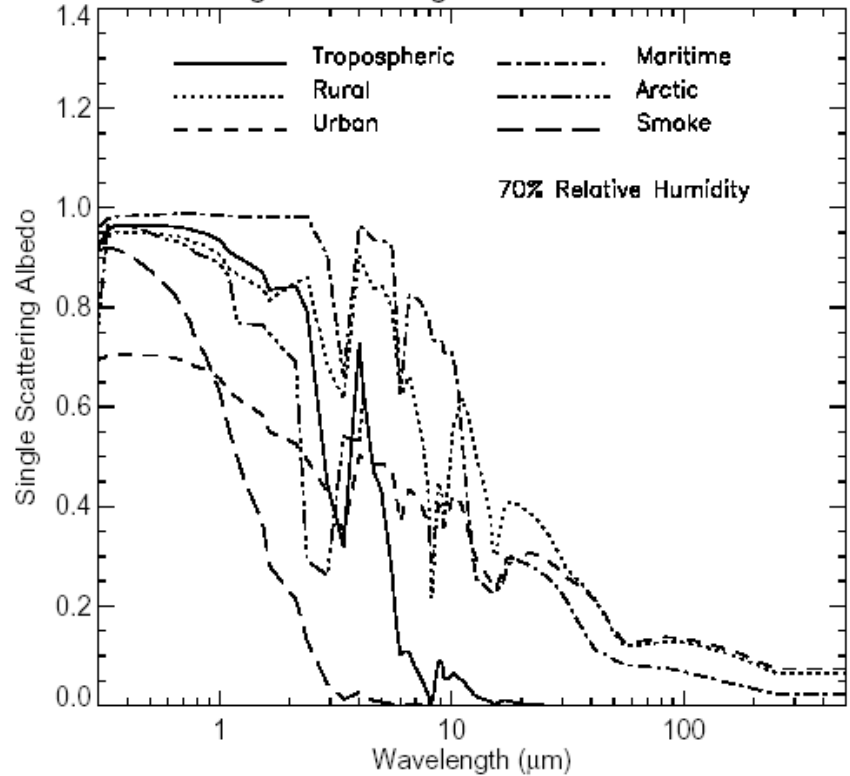
wartość krytyczna ω dla której

$$\Delta R_s = 0$$

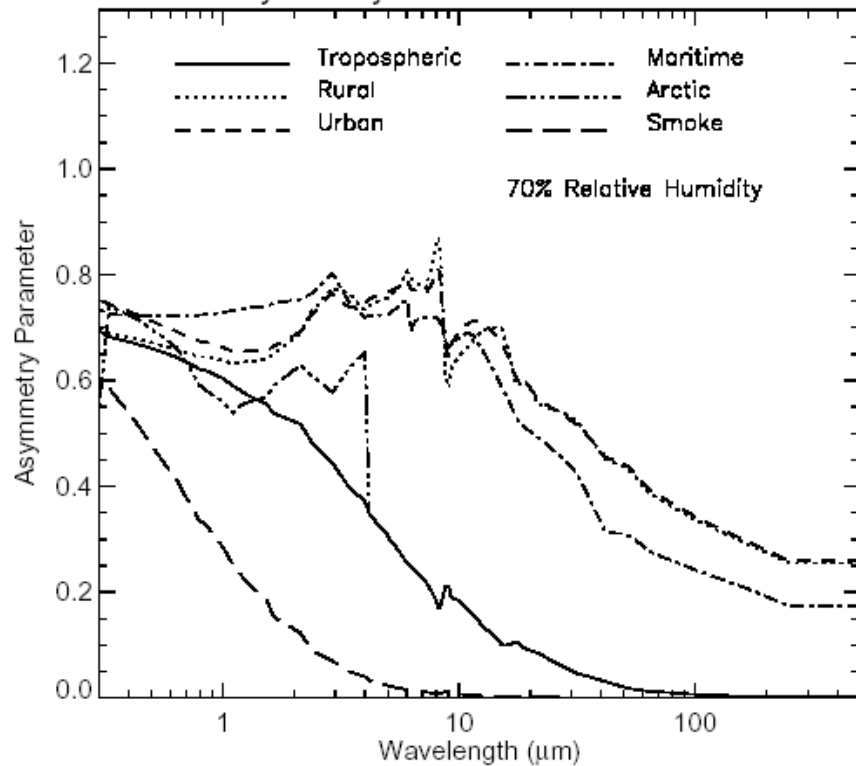
$$\omega = 2R_s/[2R_s + \beta(1-R_s)^2]$$



Single Scattering Albedo for Aerosols



Asymmetry Parameter for Aerosols

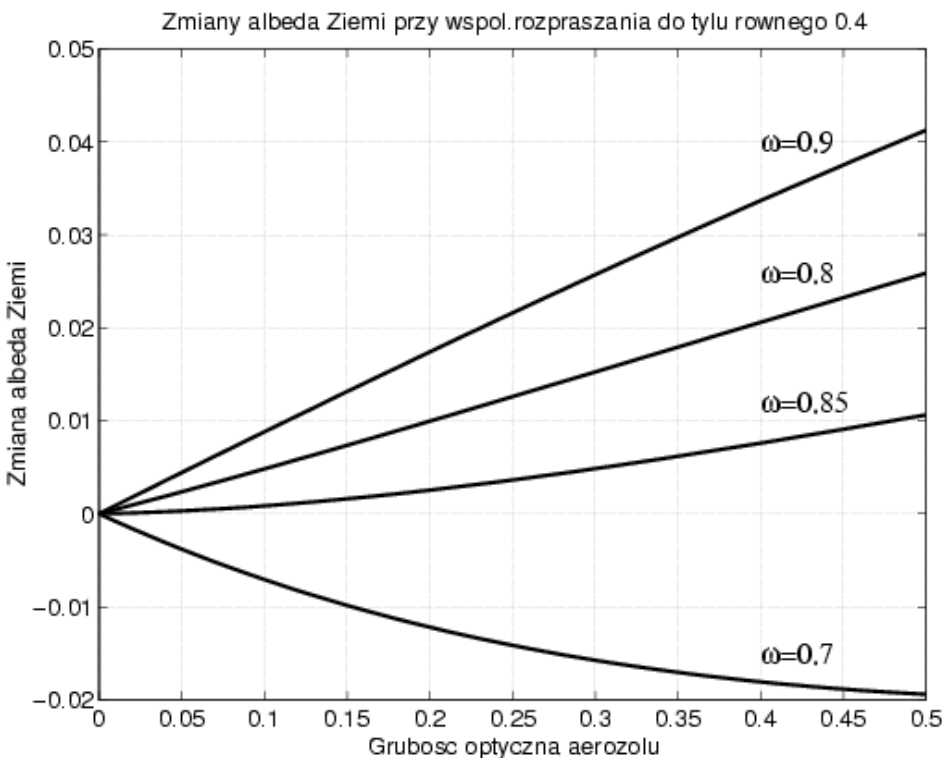
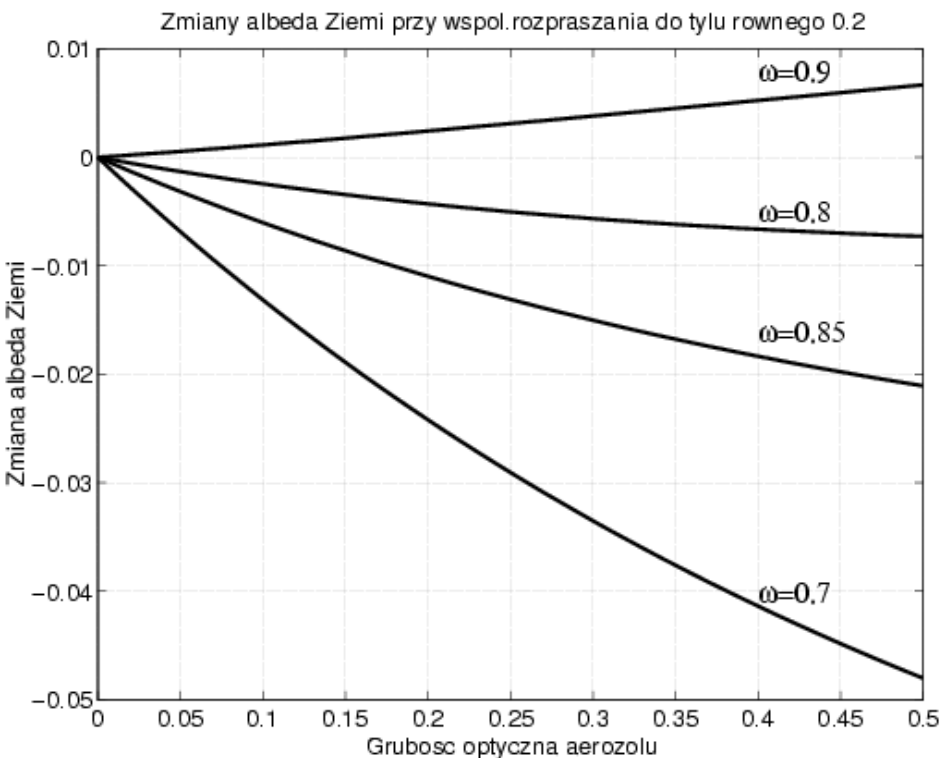


- Spektralna zależność albeda pojedynczego rozpraszania dla różnych typów aerozolu (na podstawie modelu Streamer)
- Spektralna zależność parametru asymetrii dla różnych typów aerozolu (na podstawie kodu Streamer)

Wnioski z prostego modelu radiacyjnego

- aerozole nad ciemną powierzchnią Ziemi zawsze ochładzają klimat.
- aerozole nad bardzo jasnymi powierzchniami (śnieg) ogrzewają klimat.
- w przypadku pośrednim ochładzanie bądź ogrzewanie zależy od własności optycznych aerozoli oraz własności optycznych podłoża.
- jednak zawsze obecność aerozoli prowadzi do redukcji promieniowania przy powierzchni Ziemi a zatem ochładzania najniższych warstw powietrza.

**Górna
granica
atmosfery**



- Zmiana planetarnego albeda układu Ziemia-Atmosfera w zależności od albeda pojedynczego rozpraszania i grubości optycznej przy współczynniku rozpraszania do tyłu równego 0.2.

Zmiana planetarnego albeda układu Ziemia-Atmosfera w zależności od grubości optycznej aerozolu oraz albeda pojedynczego rozpraszania przy współczynniku rozpraszania do tyłu równego 0.4.

Zmiany temperatury związane z obecnością aerozolu

- Wymuszanie radiacyjne w tym przypadku wynosi $\Delta N = -\Delta R_s F_s$
- Współczynnik wrażliwości klimatu na zmiany radiacyjne podobnie, jak w przypadku efektu cieplarnianego ma postać
$$\alpha = \left(\frac{\partial F_L}{\partial T_s} \right)^{-1} = \frac{T_s}{4F_L}$$
- Zmiana temperatury powietrza wyrażamy wzorem

$$\Delta T_s = \alpha \Delta N = -\frac{T_s}{4F_L} \Delta R_s F_s$$

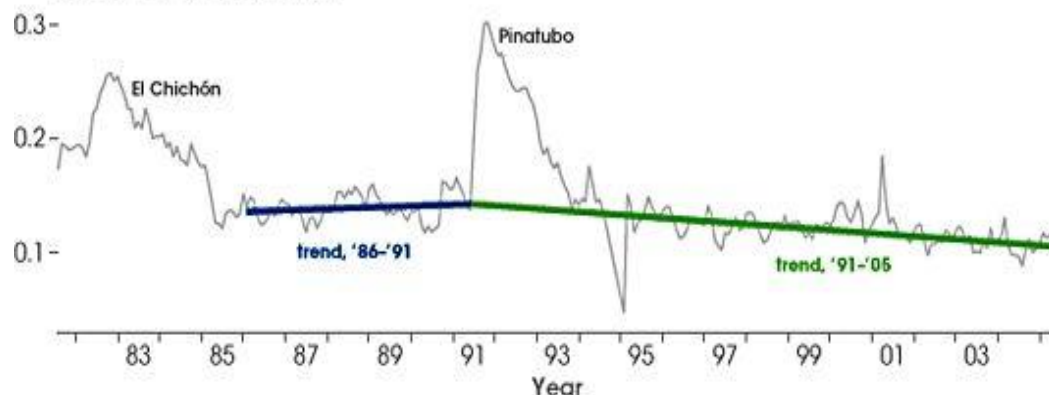
Po uwzględnieniu bilansu promieniowania na górnej granicy atmosfery w postaci otrzymujemy

$$F_s (1 - R_s) = F_L$$

$$\Delta T_s = -\frac{T_s}{4} \frac{\Delta R_s}{1 - R_s}$$

- Zakładając zmianę globalnego albeda związaną z obecnością aerosoli, na poziomie 1% otrzymujemy zmianę temperatury ok. 1K.
- Z przedstawionych wykresów wynika, że zmiany albeda mogą być większe niż 1% zatem chłodzenie aerosolowe może być lokalnie znacznie większe.
- W obszarach silnie zanieczyszczonych wymuszanie aerosolowe może być zbliżone a nawet większe wpływu gazów cieplarnianych.

Aerosol Optical Thickness



http://www.giss.nasa.gov/research/features/200711_temptracker/page2.html

Zmiany globalne aerozolowej grubości optycznej

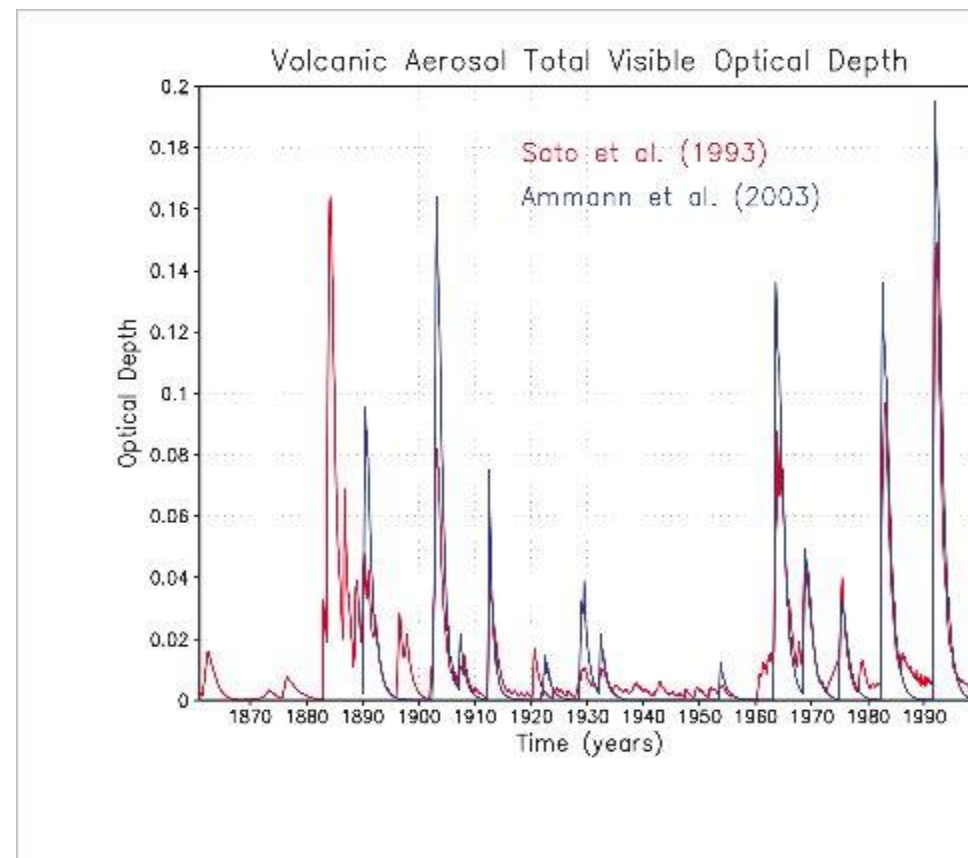
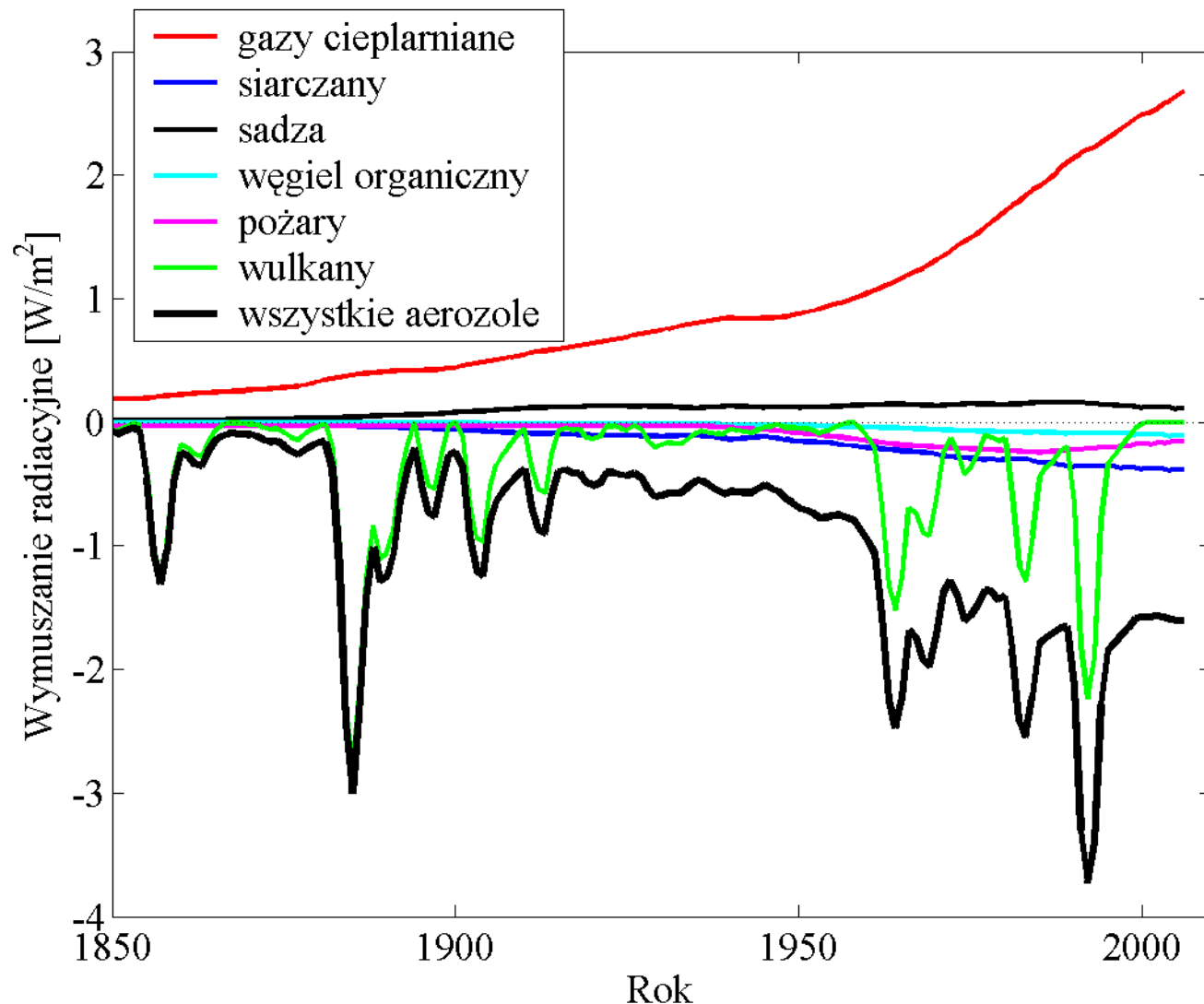
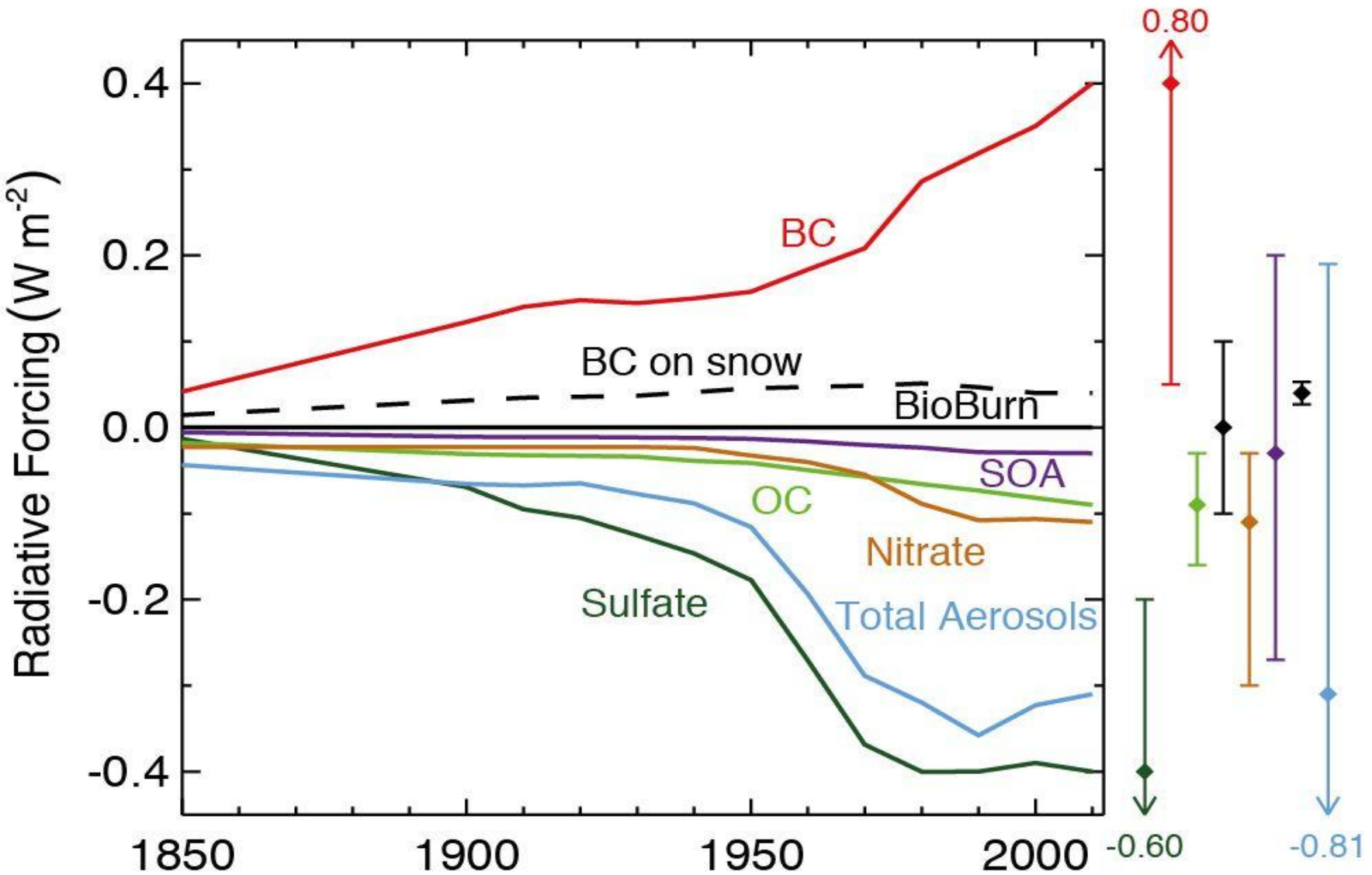


Figure 2.18

Zmiany wymuszania radiacyjnego w długiej skali czasowej

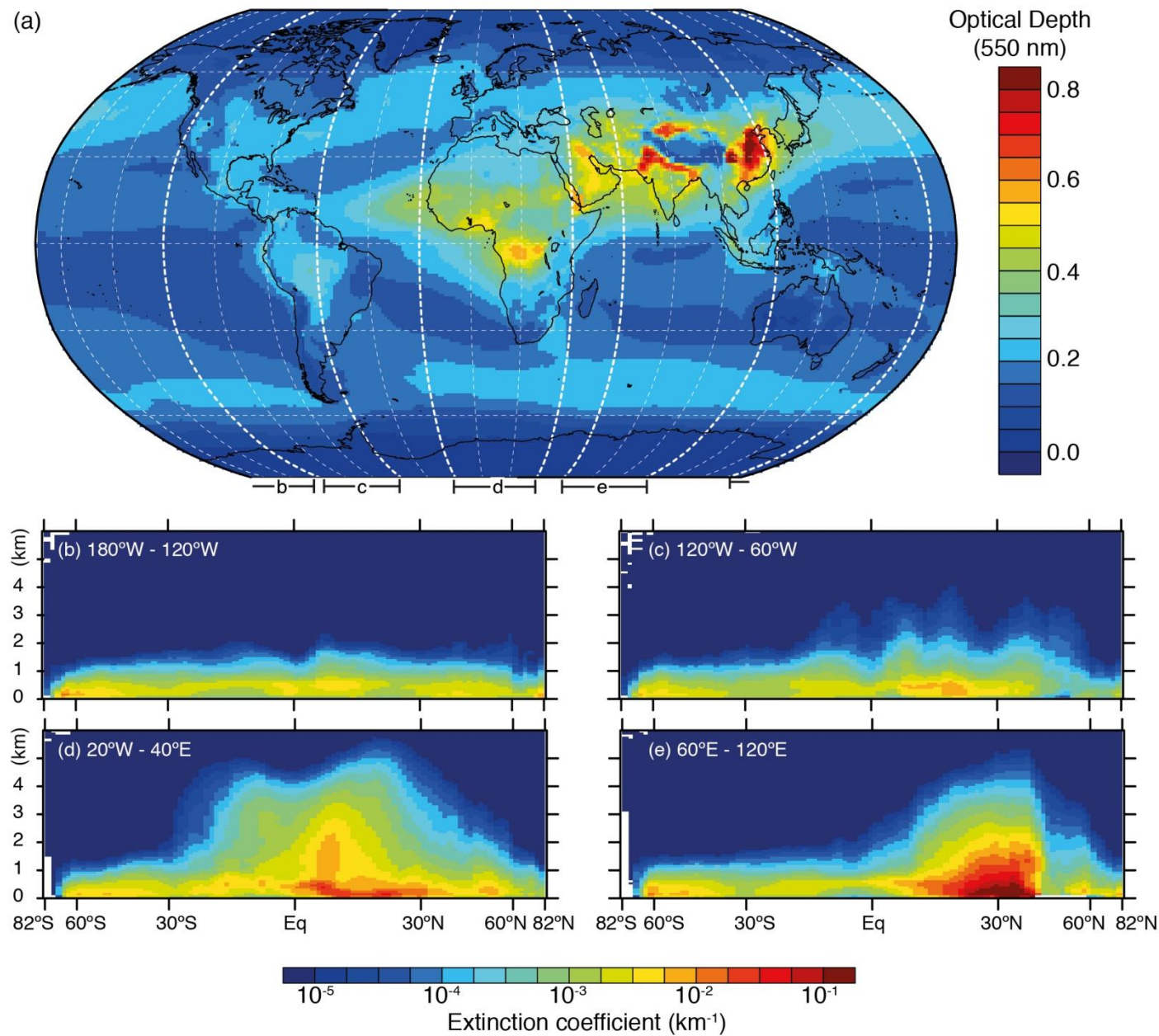




Zmiany w wymuszaniu radiacyjnym przez aerozole:

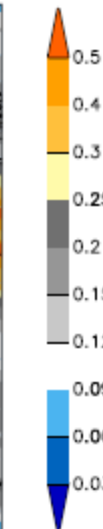
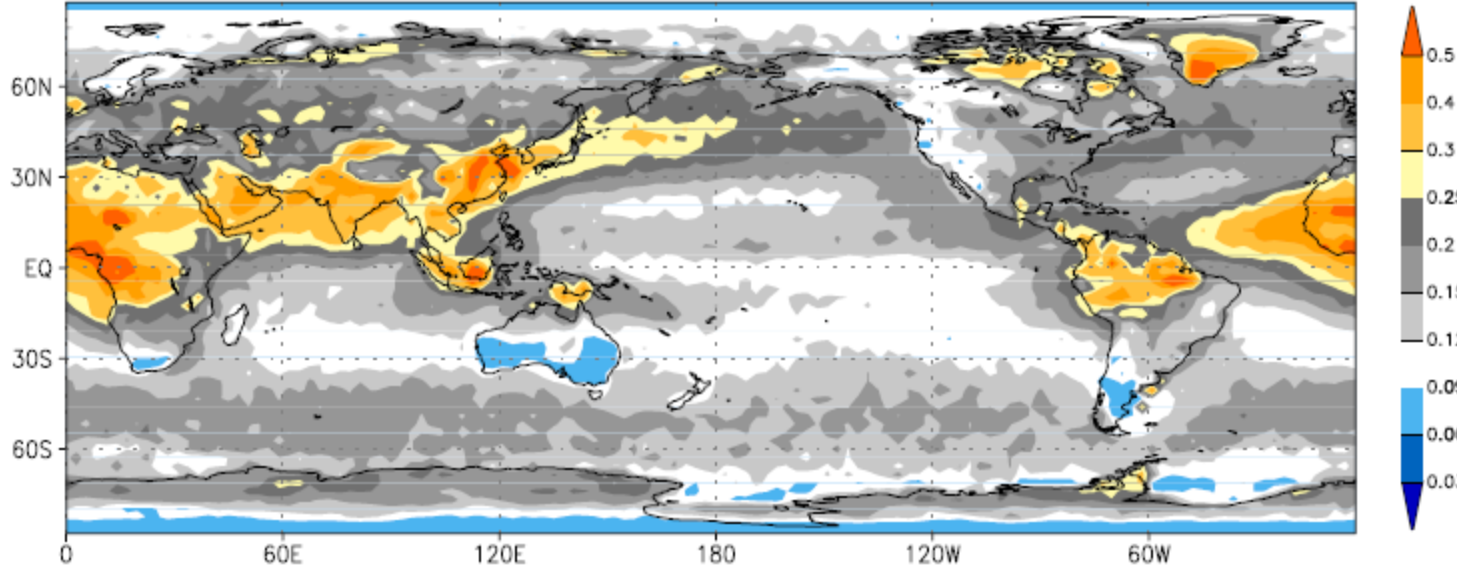
BC – sadza (Black Carbon), Sulfate – aerozole siarkowe, Nitrate – aerozole azotowe, OC – organiczne (Organic Carbon), SOA – Secondary Organic Aerosol

Średnia grubość optyczna aerozolu oraz współczynnik ekstynkcji



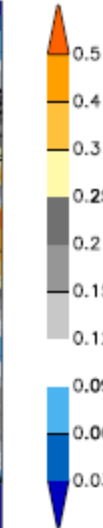
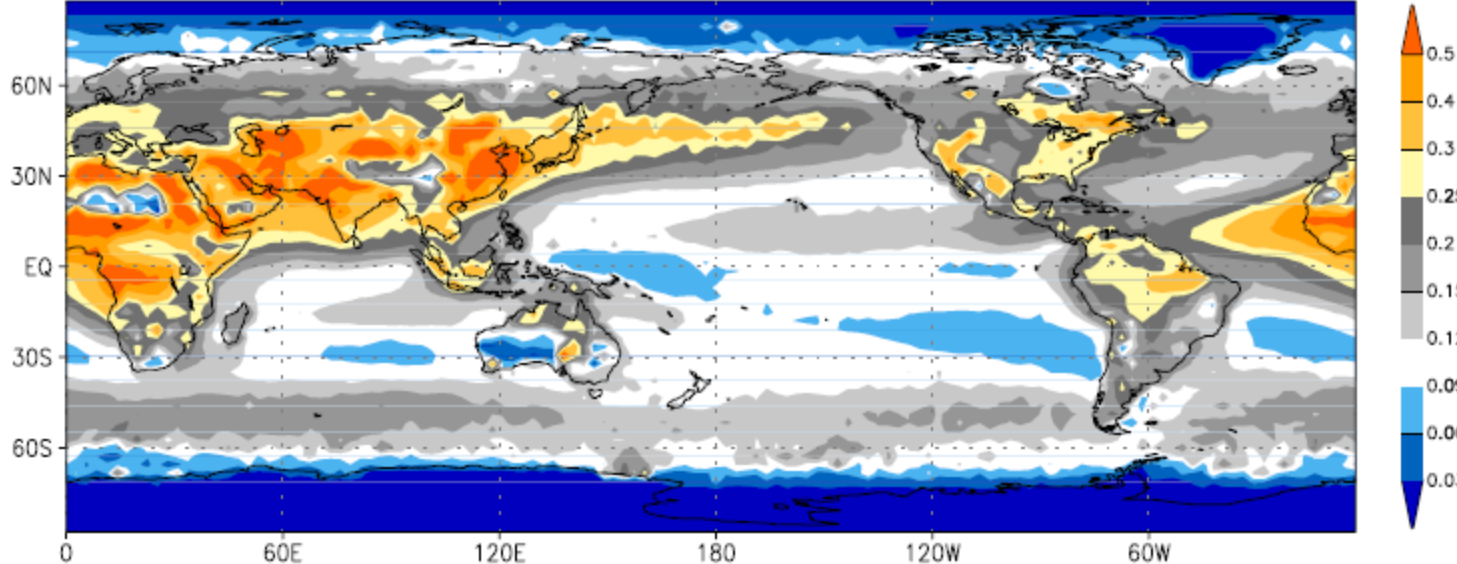
MISR

GI=0.182 NH=0.215 SH=0.150 OCN=0.164 LND=0.226



MODIS

GI=0.175 NH=0.220 SH=0.130 OCN=0.146 LND=0.245

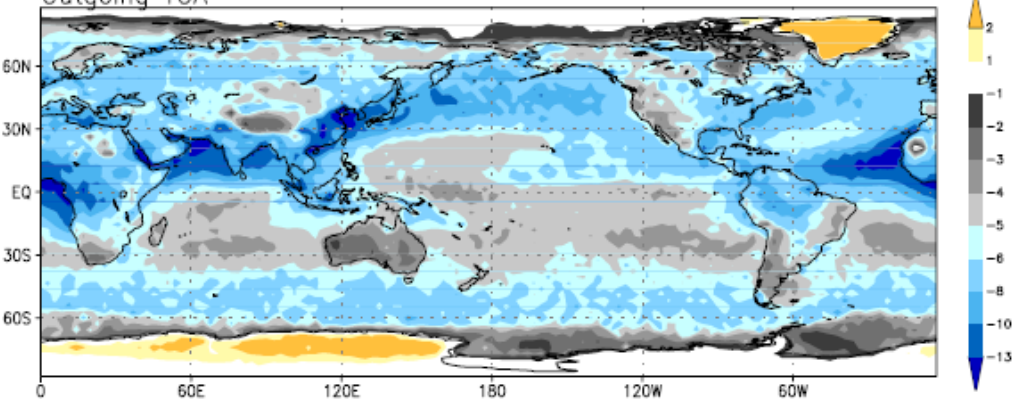


Kim and Ramanathan (2008)

Grubość optyczna aerozolu

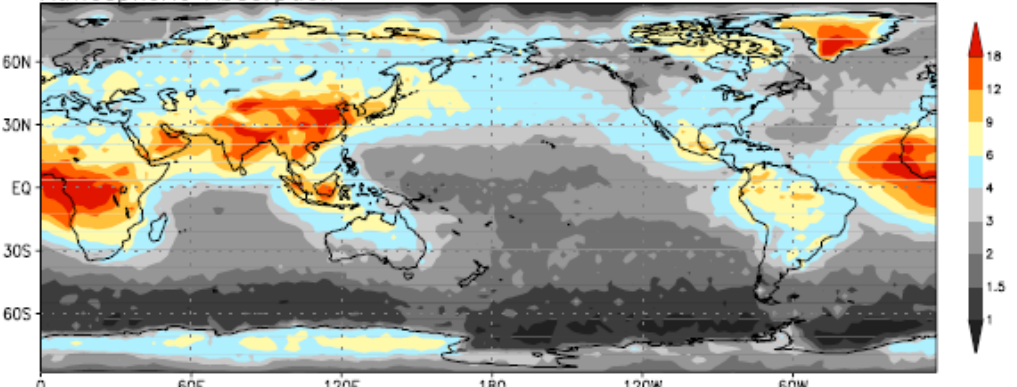
a) Total aerosol radiative forcing (without cloud)

Outgoing TOA

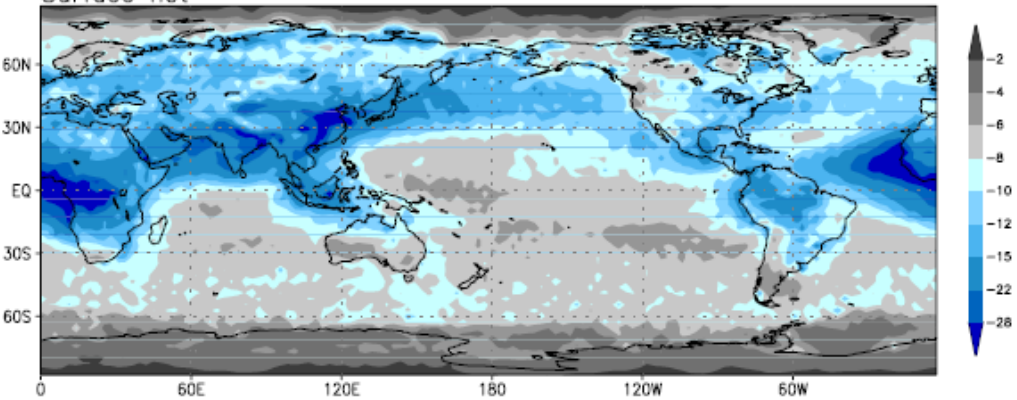


Wymuszanie radiacyjne aerozolu
wyznaczone
na podstawie pomiarów
satelitarnych

Atmospheric Absorption



Surface net

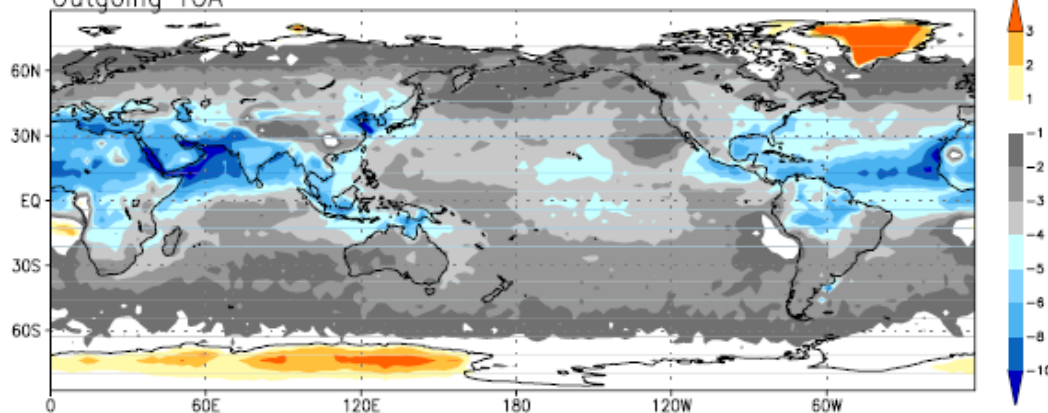


Kim and Ramanathan (2008)

Figure 9a. (top) Annual mean clear-sky aerosol radiative forcing at the TOA, (middle) vertically integrated forcing in the atmosphere, and (bottom) forcing at the surface. The forcing is calculated without cloud effects (clear-sky forcing) given in W m^{-2} .

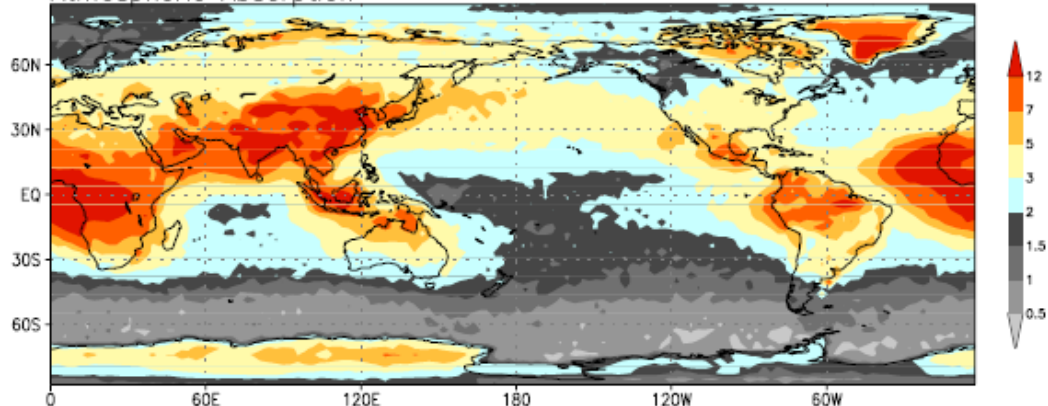
b) Total aerosol radiative forcing (with cloud)

Outgoing TOA



Wymuszanie radiacyjne aerozolu
wyznaczone
na podstawie pomiarów
satelitarnych

Atmospheric Absorption



Kim and Ramanathan (2008)

Surface net

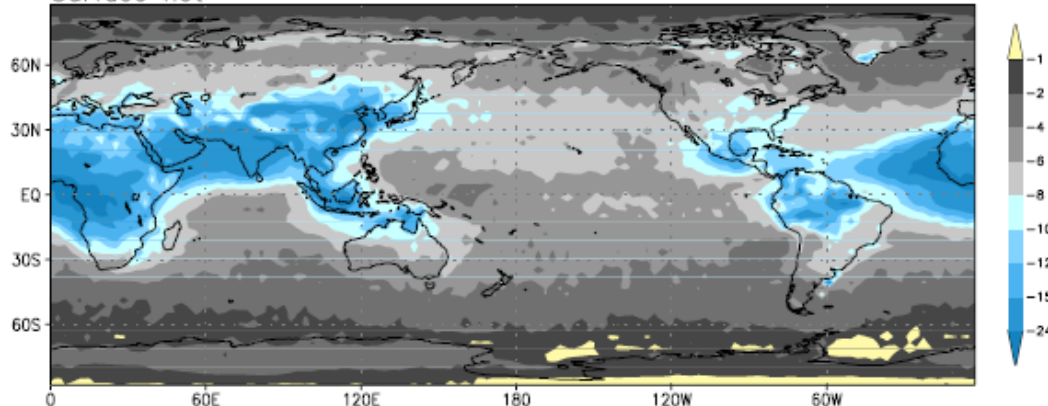
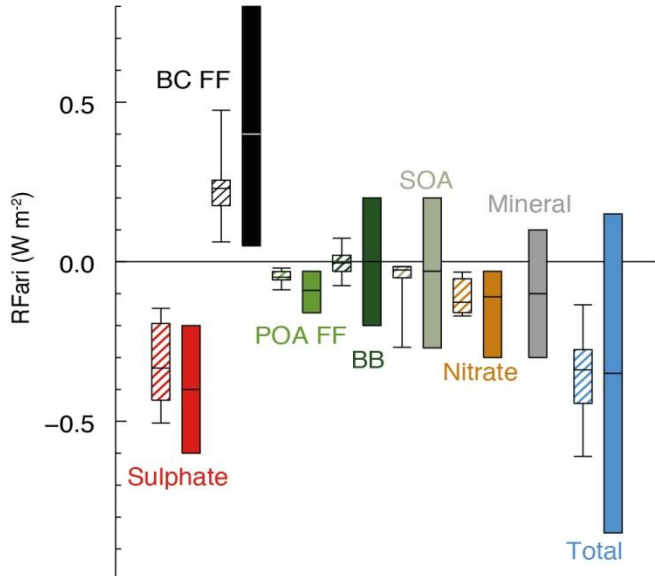
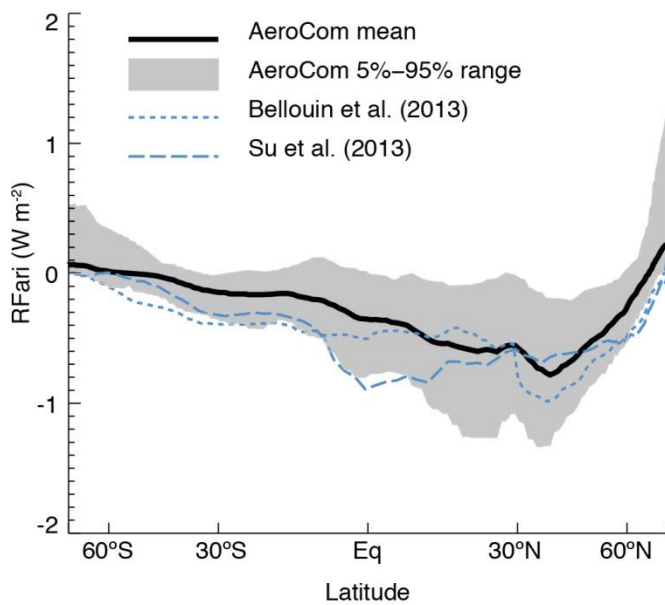


Figure 9b. Same as Figure 9a except aerosol radiative forcing with cloud effect (all-sky forcing).

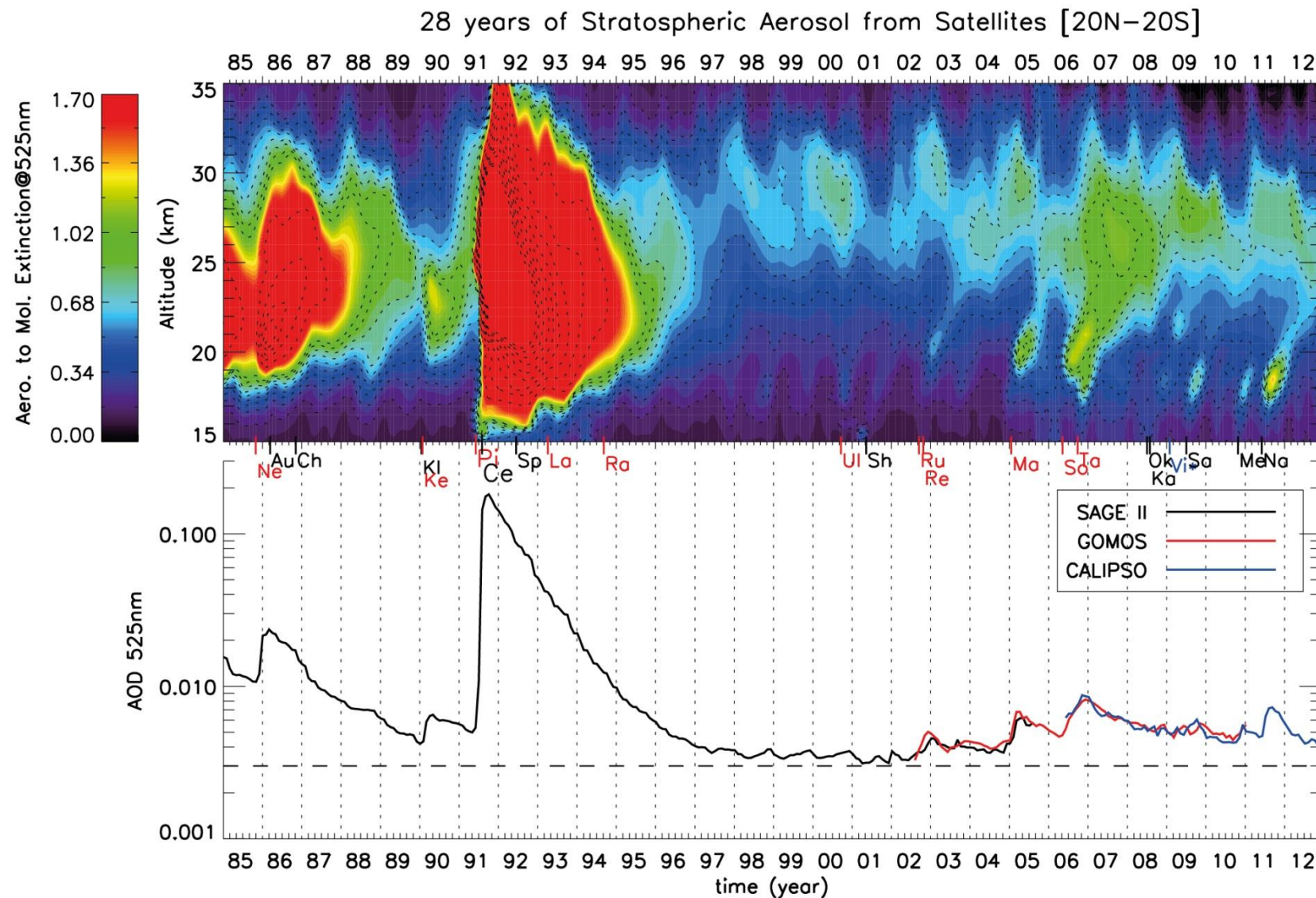


Bezpośrednie wymuszanie radiacyjne dla różnych typów aerozolu antropogenicznego dla okresu 1750-2010. Kreskowane słupki odpowiadają średnim wynikom symulacji wykonanych w ramach projektu AeroCOM II, zaś pozostałe słupki oznaczają średnie i 90% błędy wymuszeń radiacyjnych oszacowane w ramach pracy nad raportem IPCC, (2013) kolejno dla: dla siarczanów (Sulphate), węgla cząsteczkowego emitowanego podczas spalania paliw kopalnych (BC FF), organicznego aerozolu emitowanego podczas spalania paliw kopalnych i biopaliw (POA FF), aerozolu emitowanego podczas pożarów (BB), azotanów (Nitrate), aerozolu mineralnego (Mineral) oraz zbiorczo dla wszystkich typów aerozolu.
Źródło, rozdział 7 raportu IPCC (2013).



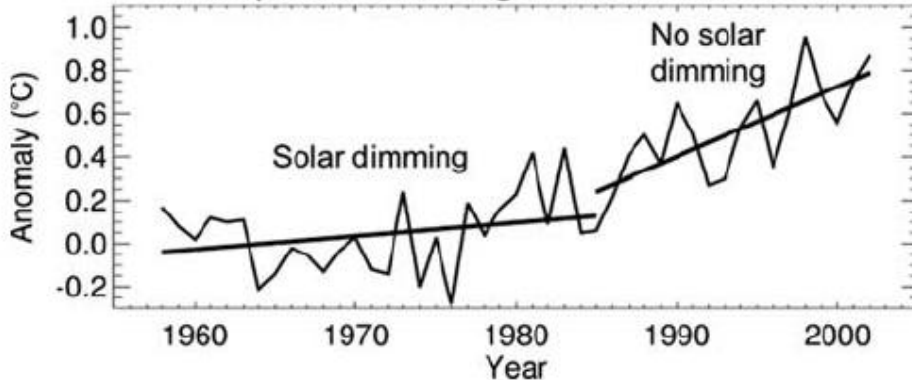
Przekrój południkowy bezpośredniego wymuszania radiacyjnego aerozolu antropogenicznego dla okresu 1850-2000. Linia czarna przedstawia średnią z modeli projektu AeroCOM II, zaś kolorem szarym zaznaczono 5 i 95 percentyl. Pozostałe krzywe, niebieska kropkowana i przerywana linia, oznaczają wyniki uzyskane odpowiednio przez Bolleuin i in., (2013) oraz Su i in., (2013).
Źródło: rozdział 7 raportu IPCC, (2013).

Wpływ wulkanów stratosferycznych

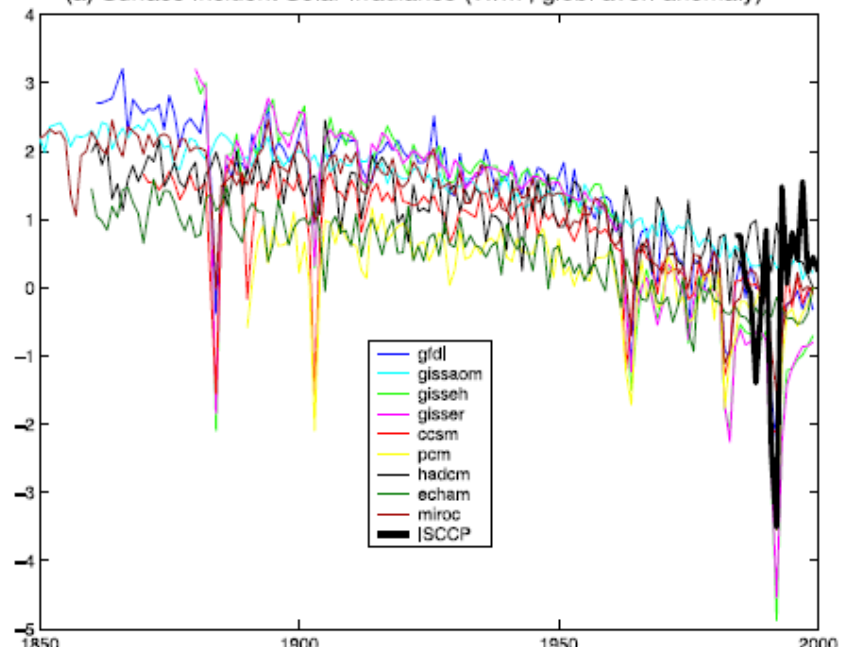


Globalne zaciemnienie w XX wieku.

Temperature Change Global Mean Land



(a) Surface Incident Solar Irradiance (W/m^2 , glob. aver. anomaly)



b) Surf Irrad, 20C, multi-model mean trends ($\text{W/m}^2/\text{yr}$)

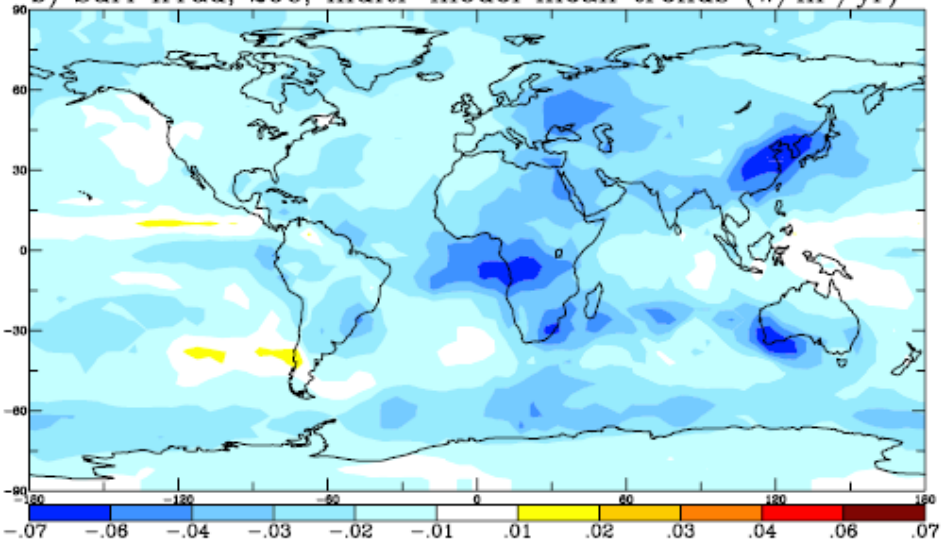


Figure 1. (a) Simulated global averages of the 20th Century SWD anomalies (W/m^2 , mean 1990s seasonal cycle removed) and linear trends ($\text{W/m}^2/\text{yr}$) in the nine IPCC climate models. (b) Linear trends based on the multi-model mean monthly anomalies over the 20th century. Trends are statistically significant at the 95% confidence level everywhere except in the range $[-0.01, 0.02]$ $\text{W/m}^2/\text{yr}$.

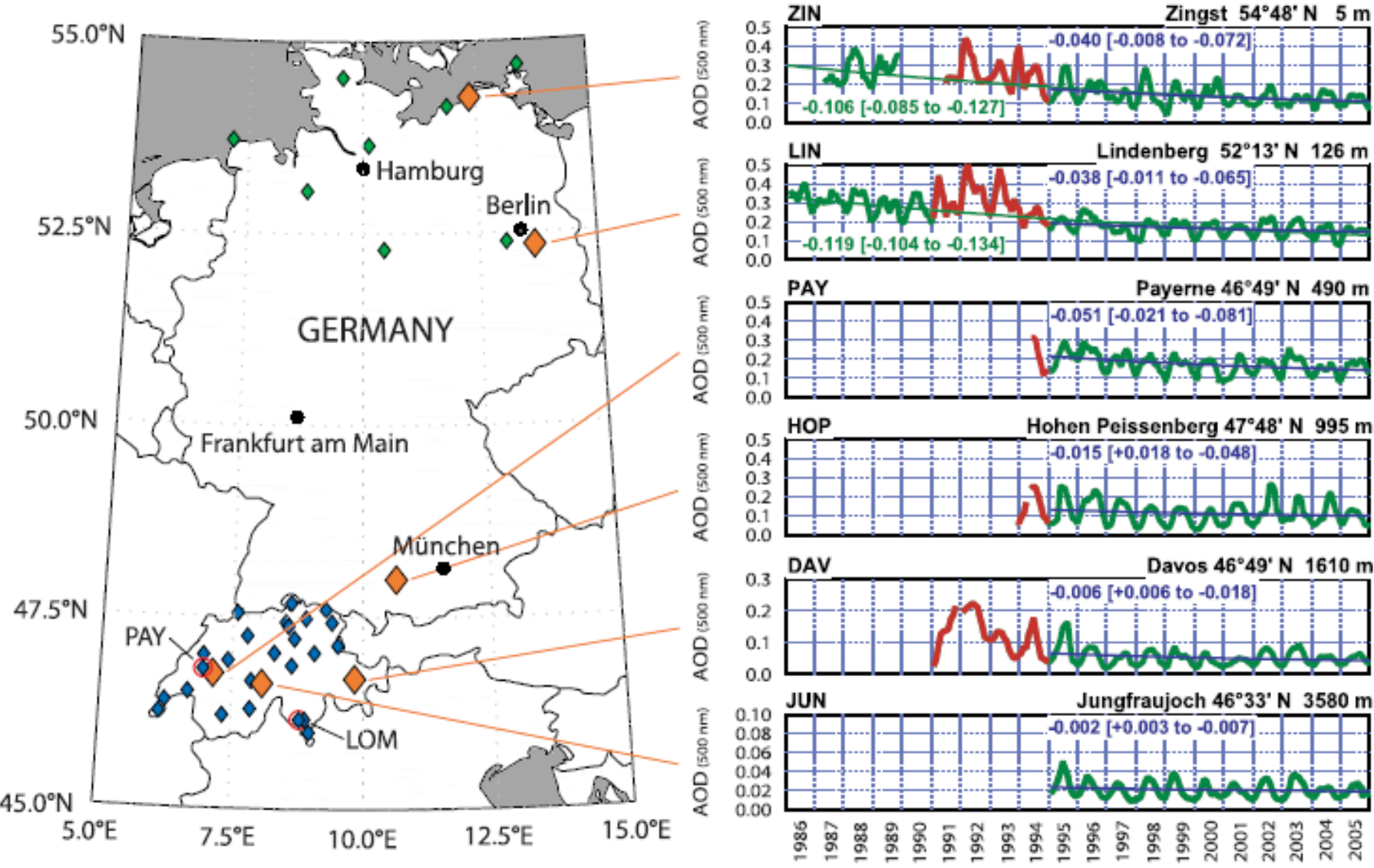


Figure 1. (left) Location of surface observation sites in Germany and Switzerland used in this study. *AOD* sites are shown in orange, DWD (German Weather Service) sites in green, MeteoSwiss sites in blue, and ASRB stations in red. (right) Monthly mean *AOD* are smoothed with a three month running mean and shown in green, except the Pinatubo affected years 1991–1994 that are not included in trend analyses and are shown in red. Trends in *AOD* are given per decade and are shown for different time periods (green 1986–2005, blue 1995–2005), while square brackets denote the 95% confidence interval.

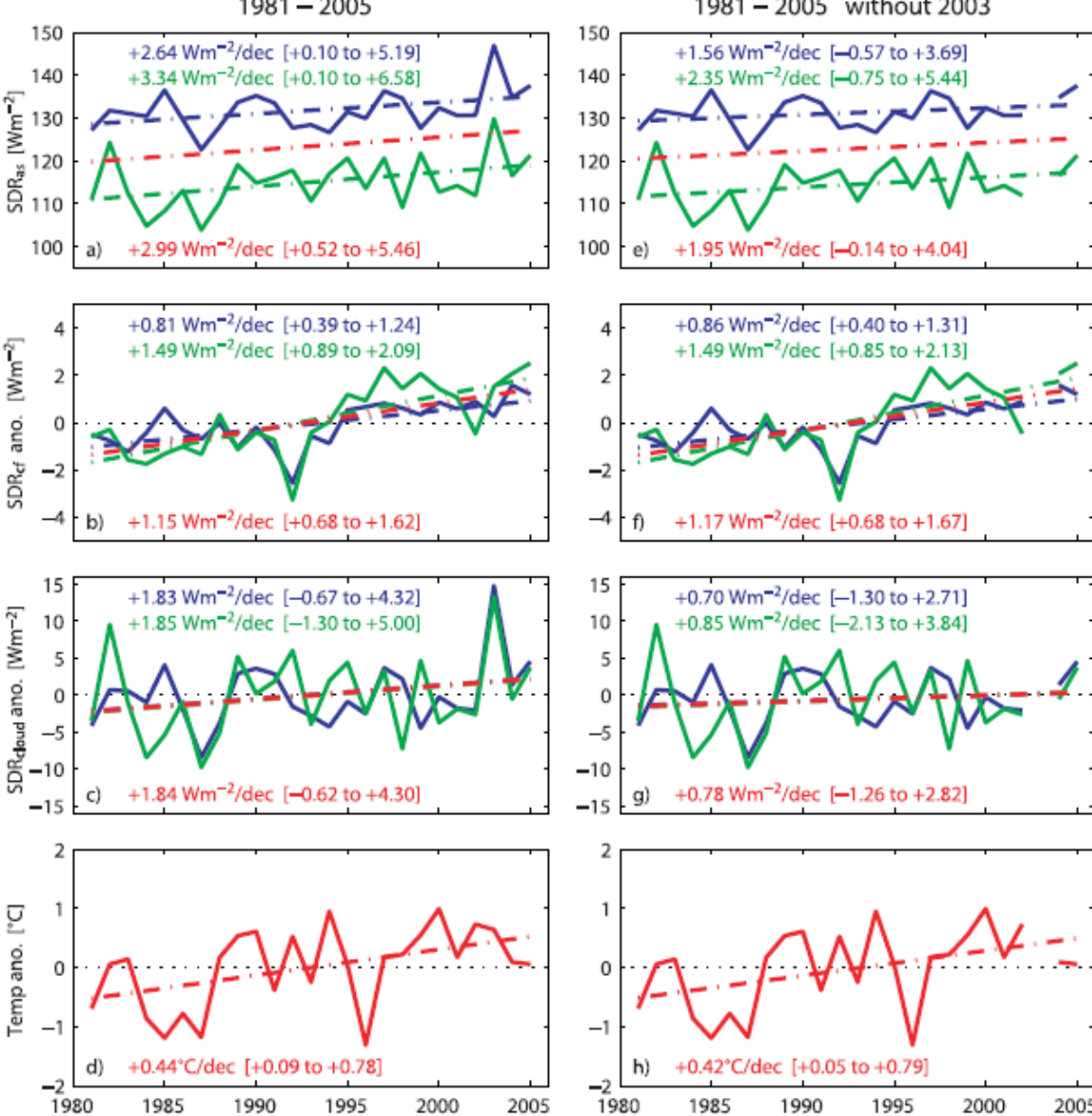
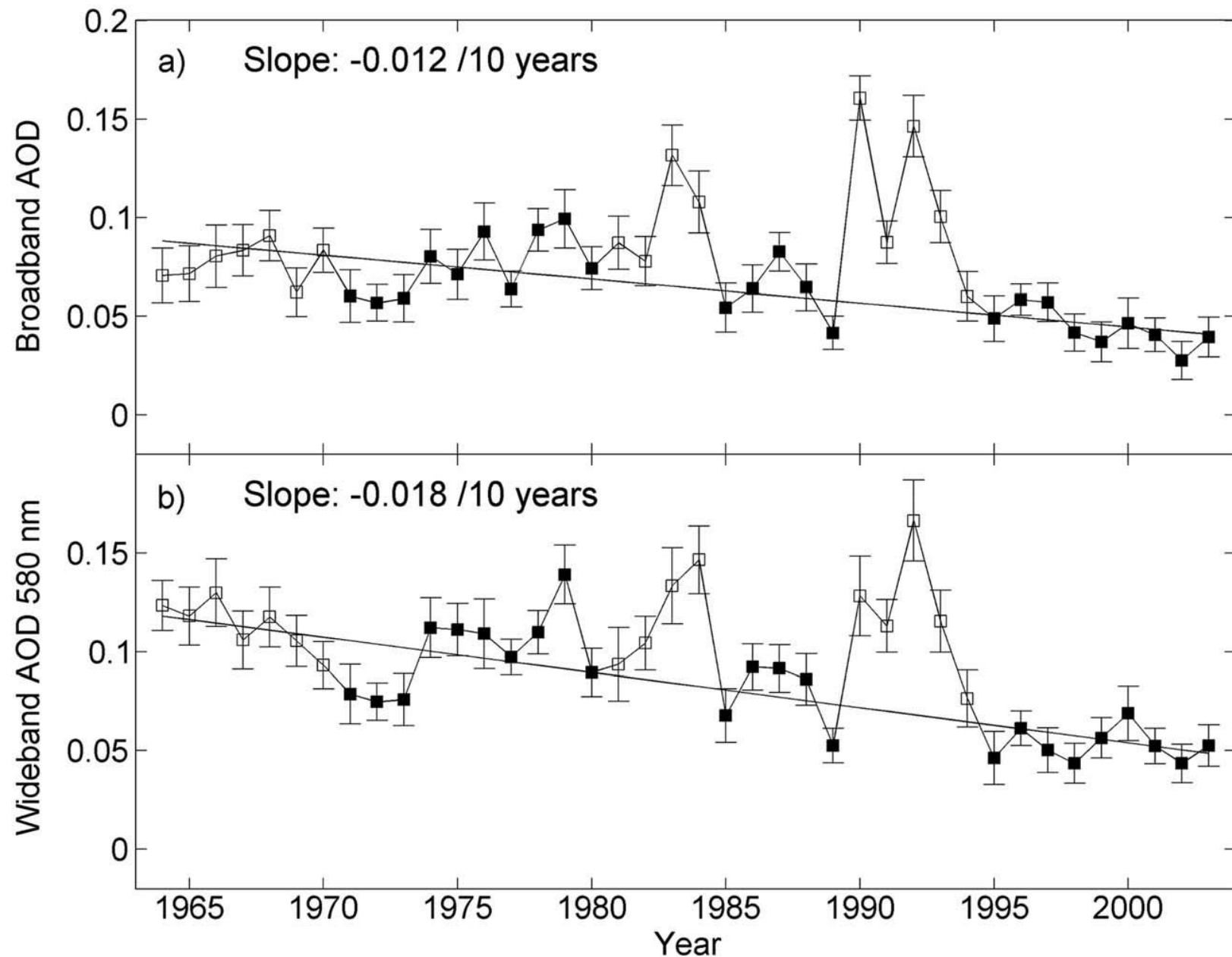


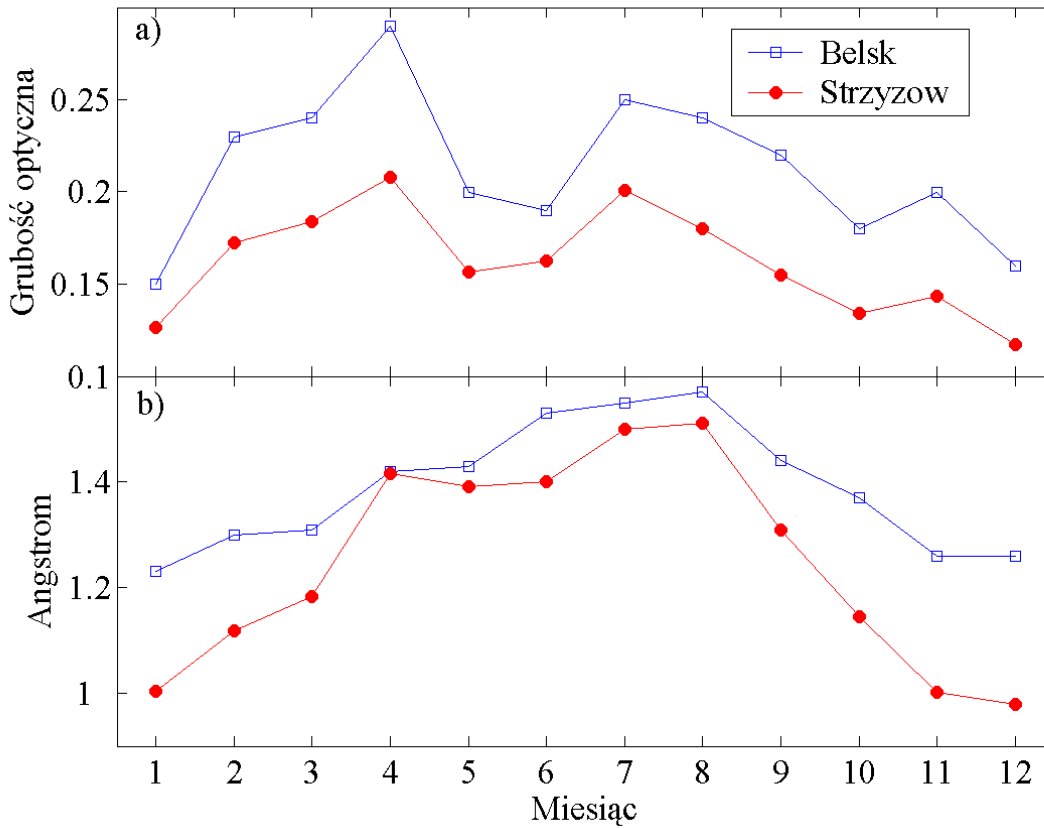
Figure 2. Time series of (a) and (e) all-sky SDR , (b) and (f) anomaly of cloud-free SDR , (c) and (g), anomaly of SDR for cloudy skies, and (d) and (h) the temperature anomaly. Figures 2a–2d indicate the times series of all years from 1981 to 2005. Figures 3e–2h illustrate the same time period but exclude the year 2003 with the exceptional summer. The blue lines and numbers represent average values for all 25 sites in Switzerland, green represents average values at all 8 sites in Northern Germany, and red represents the grand average and the temperature anomaly (Crutem2 data from CRU/UEA) for Central Europe (45° – 55°N ; 5° – 15°E). Numbers indicate decadal trends in Wm^{-2} with 95 % confidence interval in square brackets.

- Wzrost promieniowania słonecznego w Europie jest w głównej mierze związany z bezpośrednim efektem aerozolowym. Efekt pośredni ma mniejsze znaczenie.
- Niewielki efekt pośredni przy spadku koncentracji aerozolu o ok. 60% jest zaskakujący. Możliwe, że jest to związane ze zmianą cyrkulacji w dużej skali, która spowodowała „kompensacyjny” wzrost zachmurzenia.
- Oszacowana wartość wymuszania radiacyjnego aerozoli i chmur wynosi dla Europy ok. $+1\text{W/m}^2$ (1981-2005) co miało prawdopodobnie duży wpływ na szybki wzrost temperatury w tym okresie.
- Przy czym wymuszanie bezpośrednie wynosi $+0.84\text{W/m}^2$, zaś dla chmur jedynie $+0.16 \text{ W/m}^2$ ze względu na kompensacje przez efekt długofalowy.

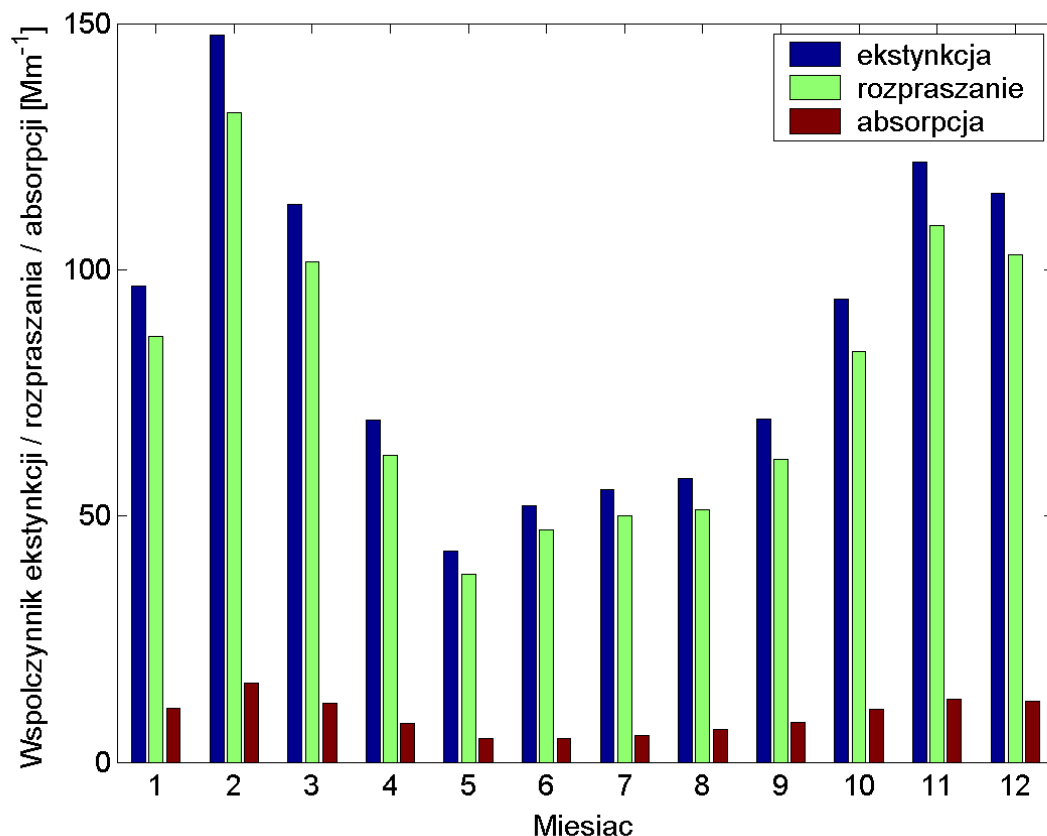
Zmiany grubości optycznej aerozolu na Kasprowym Wierchu



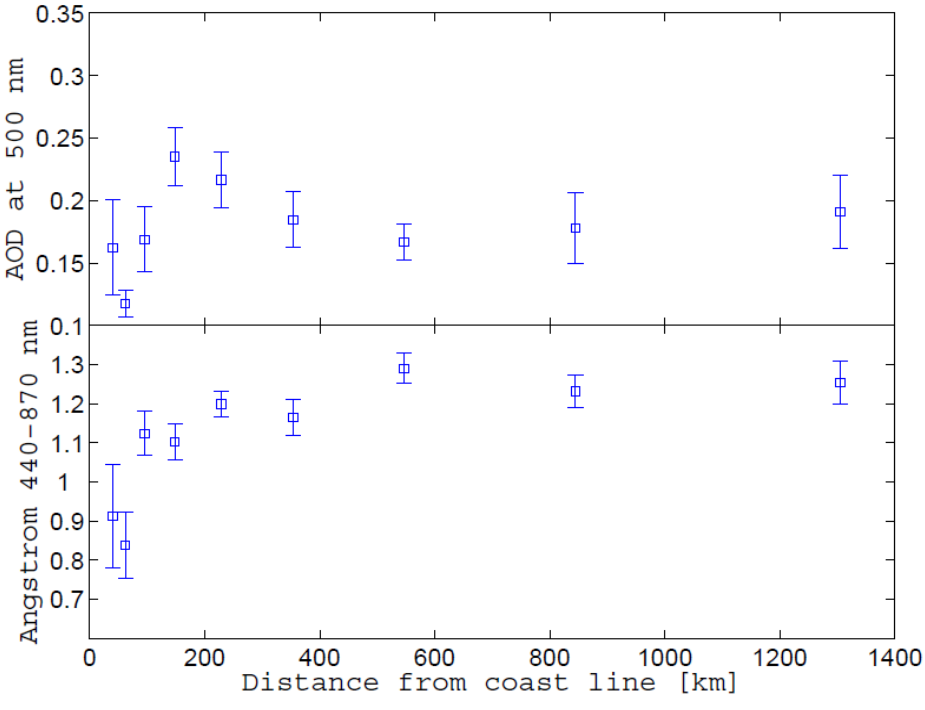
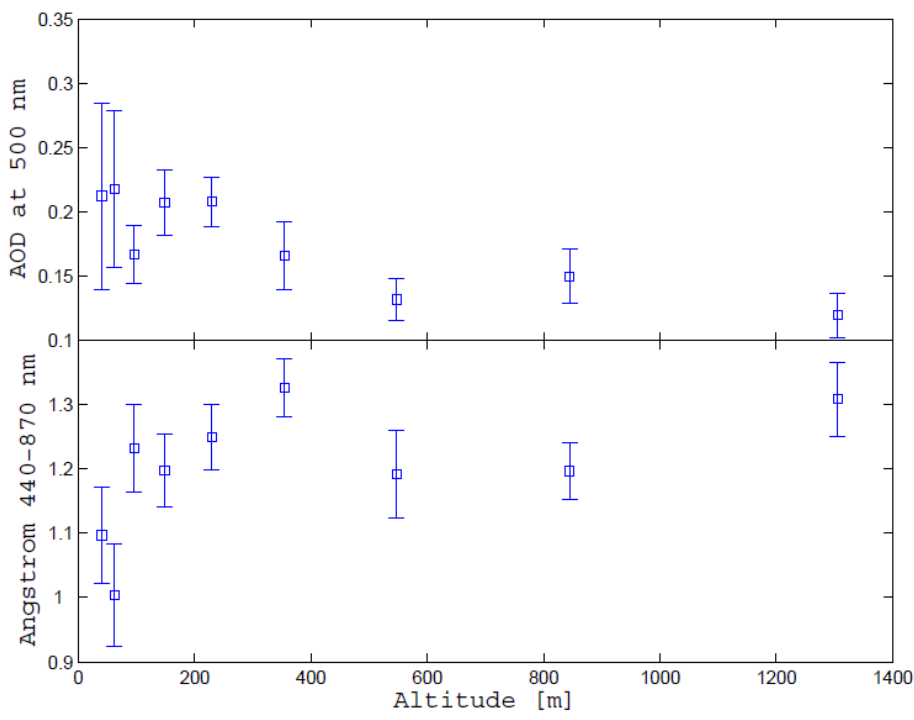
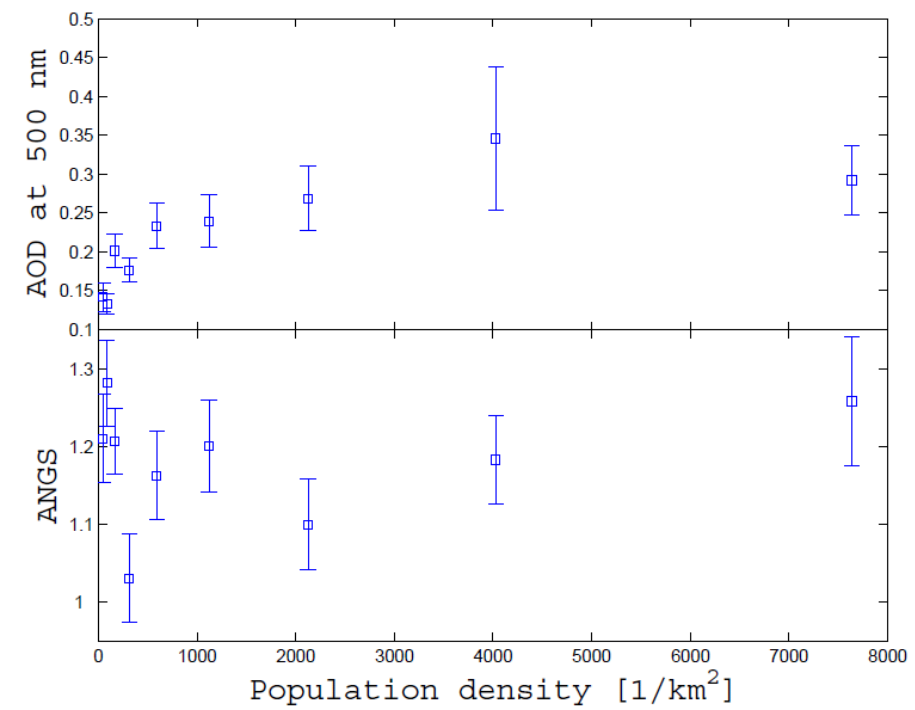
Zmiany grubości optycznej w krótszej skali czasowej

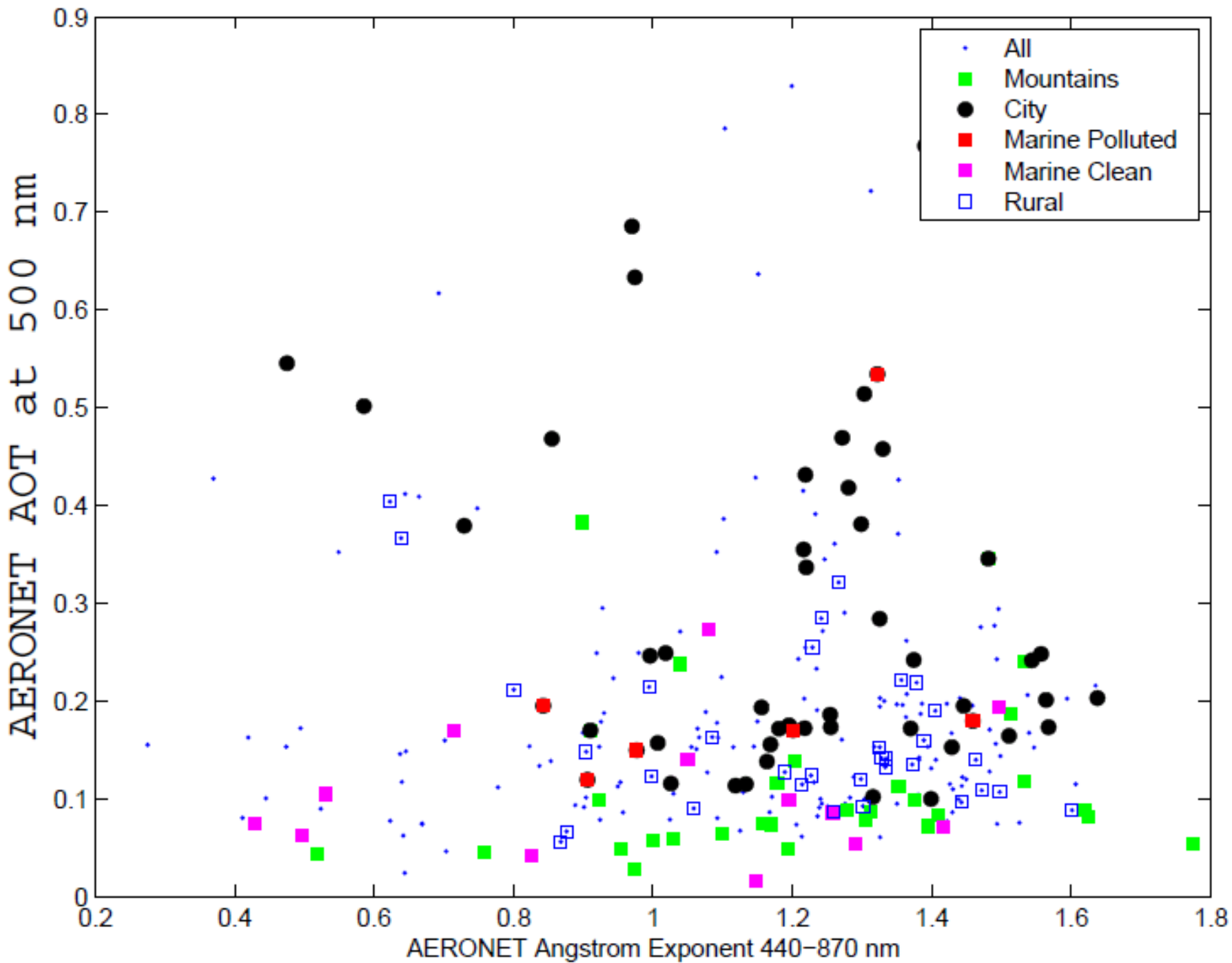


Zmiany własności optycznych aerosolu przy powierzchni ziemi



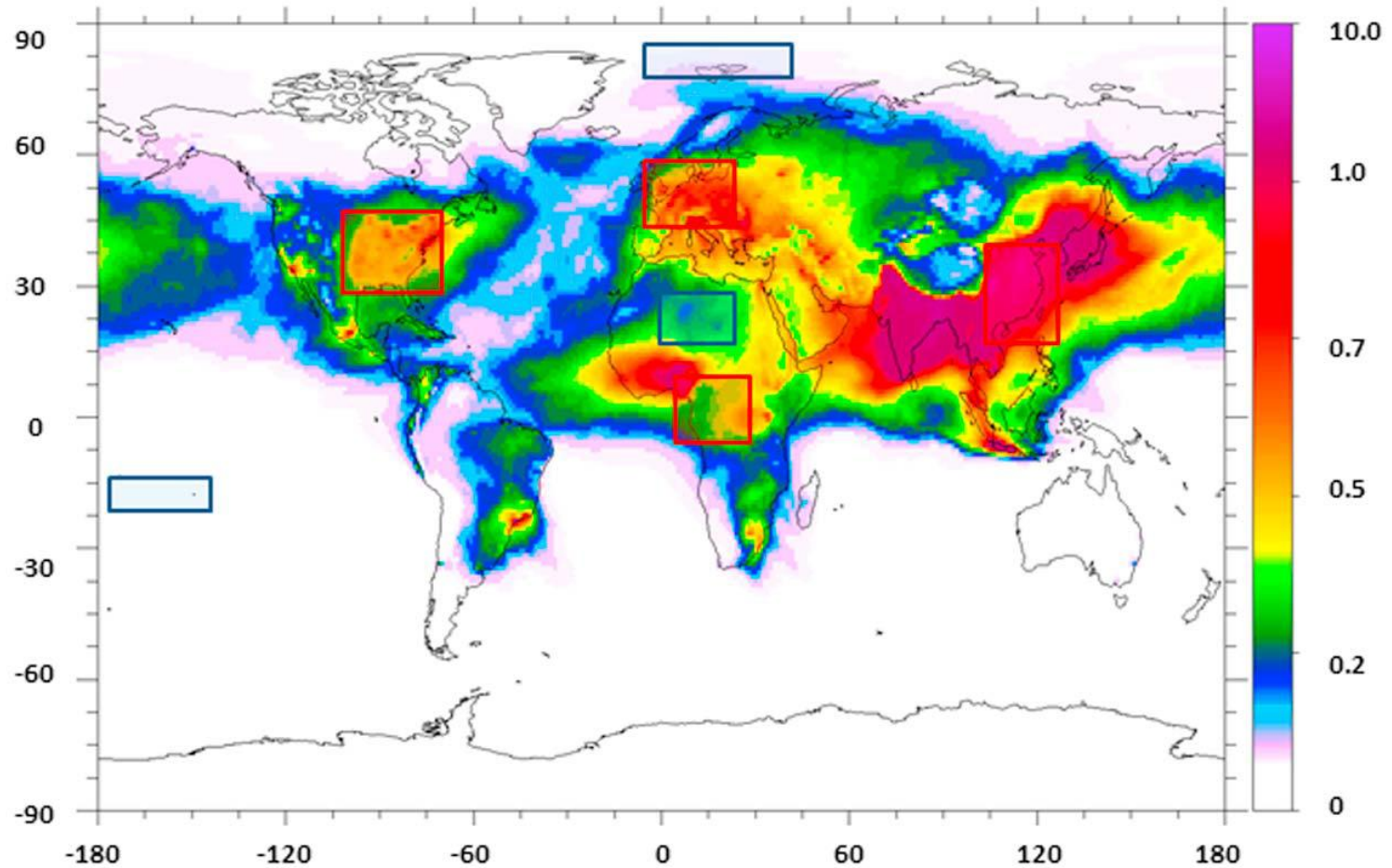
Analiza danych ze stacji AEONETU Od jakich parametrów zależy grubość optyczny aerozolu?



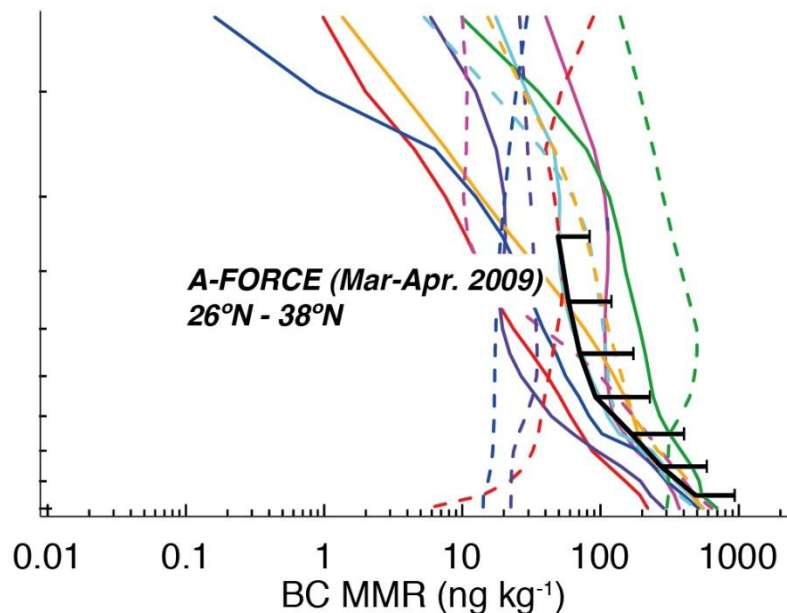
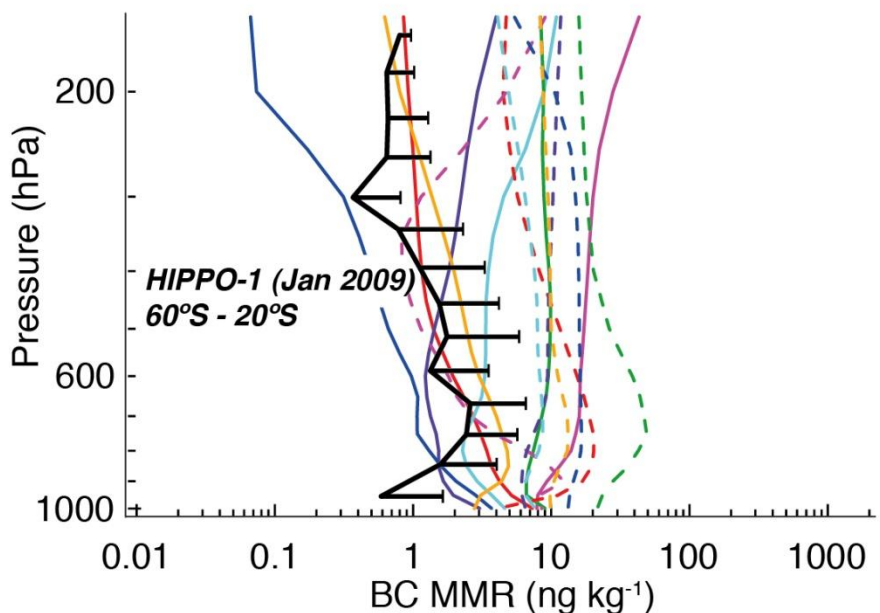
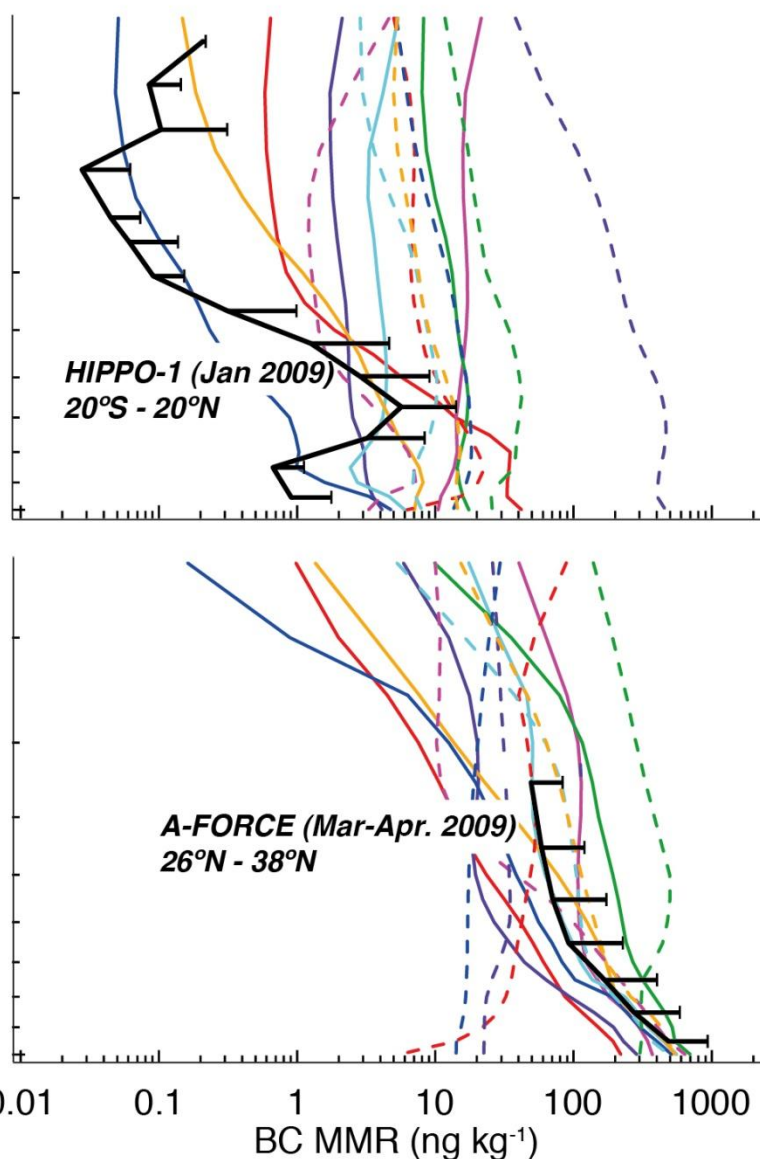
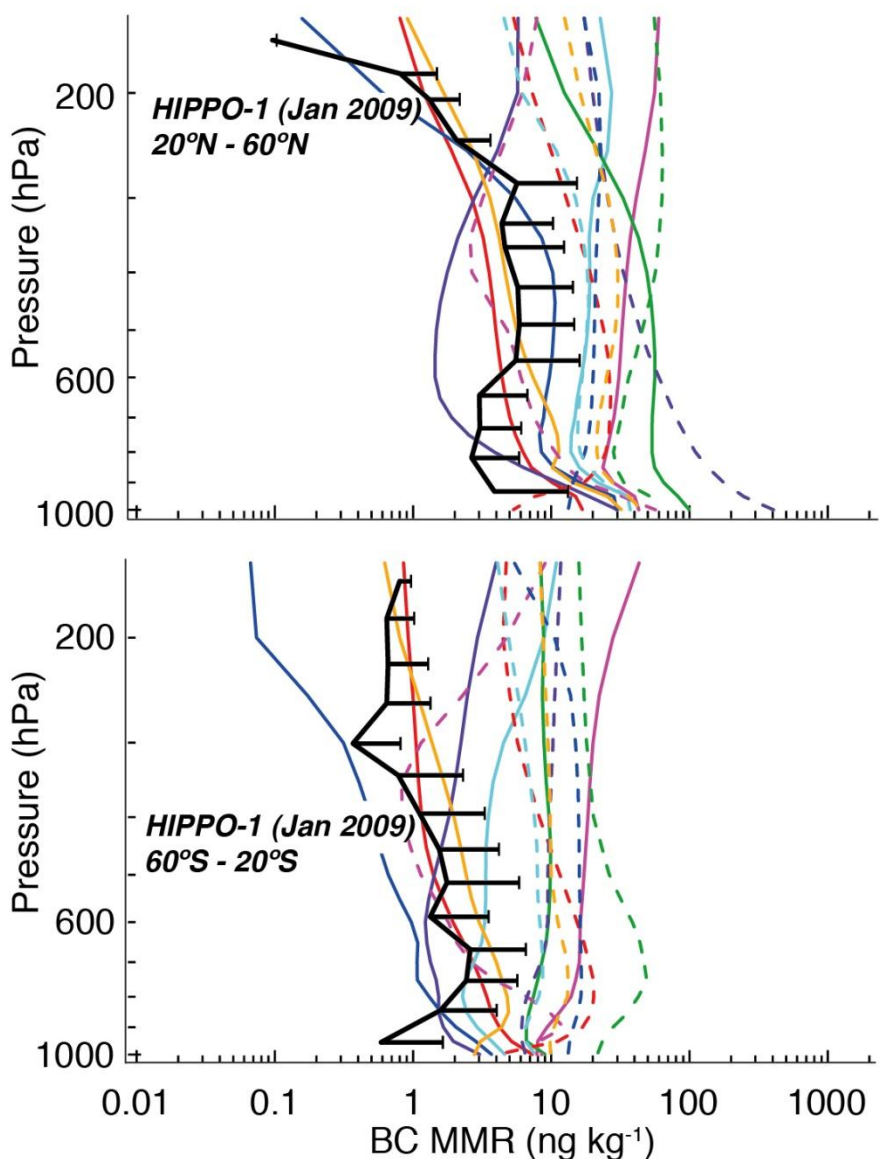


Stan wiedzy: Wymuszanie radiacyjne częstek absorbujących

- TOA: 0.9 W/m^2 (30% GH RF)
- Powierzchnia ziemi: -1.7 W/m^2 (Ramanathan and Carmichael, 2008)
- Atmosfera: $+2.6 \text{ W/m}^2$
- Dodatnia wartość RF (TOA) wynika z :
 - redukcji albeda planetarnego poprzez absorpcję promieniowania słonecznego (jasne powierzchnie)
 - depozycji BC na śniegu i lodzie
 - pochłaniania promieniowania przez BC w chmurach (efekt pół-bezpośredni)
- Ujemne RF na powierzchni przez BC stanowi ok. 40% całego RF przez aerozole
- Grzanie dolnej atmosfery na poziomie 2.6 W/m^2 redukuje konwekcję i opady
- Błędy oszacowania RF w przypadku BC sięgają 50% (Chung et al., 2005)

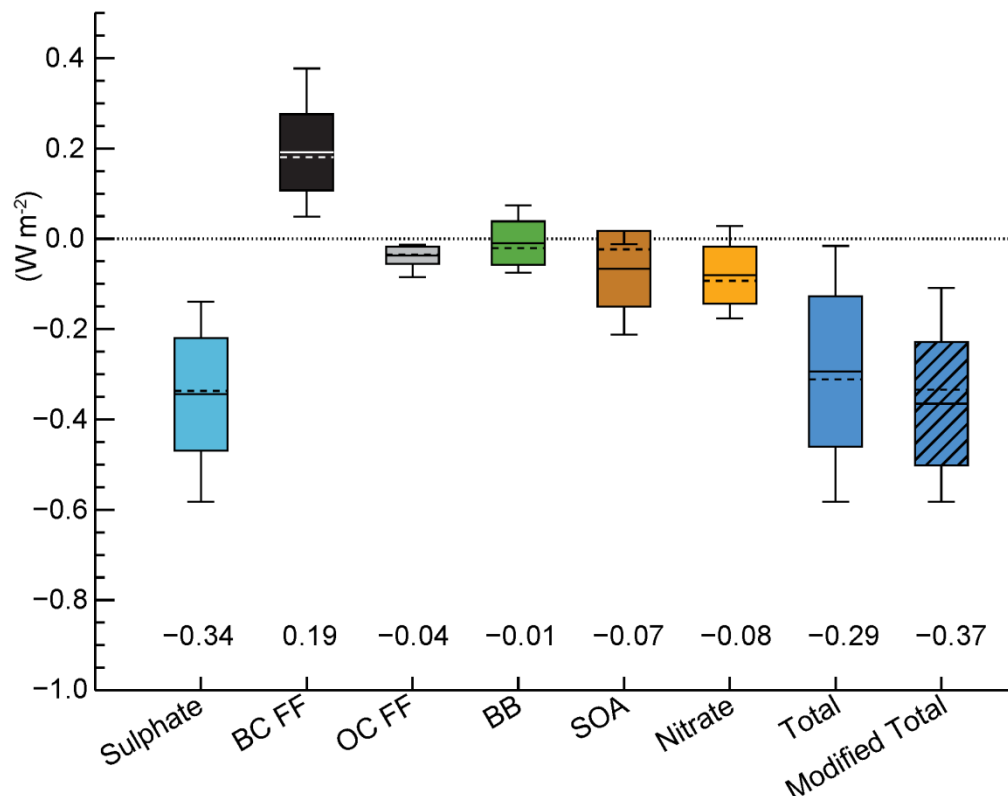


- Annual mean BC aerosol burden (in mg/m²) for the background fields used, and regions selected for the regional study (boxes), Samset and Myhre 2011.

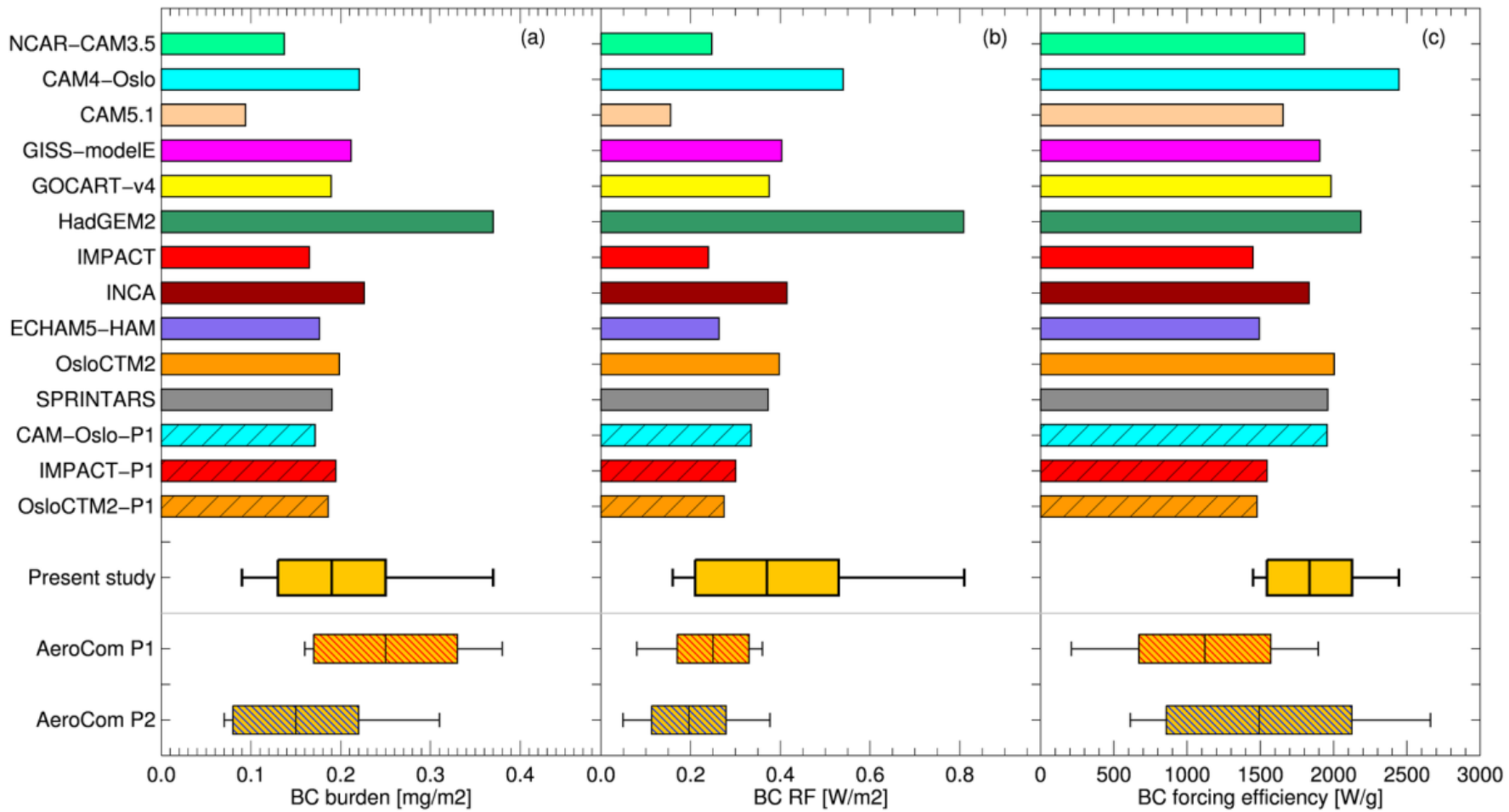


Wymuszanie radiacyjne cząstek absorbujących cd

- Wymuszanie radiacyjne oszacowane przez Myhre et al., 2012 w przypadku cząstek silnie absorbujących emitowanych podczas spalania paliw kopalnych wynosi tylko 0.24 W/m^2 (AeroComII models) i $0.34 \pm 0.25 \text{ W/m}^2$ (IPCC, 2007), $+0.3$ ($+0.1$ to $+0.5$) W/m^2 (IPCC, 2013)



Mean (solid line), median (dashed line), one standard deviation (box) and full (min-4 max) range (whiskers) for RF (W/m^2) from different aerosol types from AeroCom II models. The forcings are for the 1850 to 2000 period. Adapted from Myhre et al. (2012).



Modeled BC global mean (a) burden, (b) RF and (c) forcing efficiency (RF per gram of BC). Yellow boxes with whiskers indicate mean, one standard deviation and max/min values. Mean values and spreads for AeroCom P1 and P2 (hatched whisker boxes) are taken from Schulz et al 2006 and Myhre et al 2012 respectively.

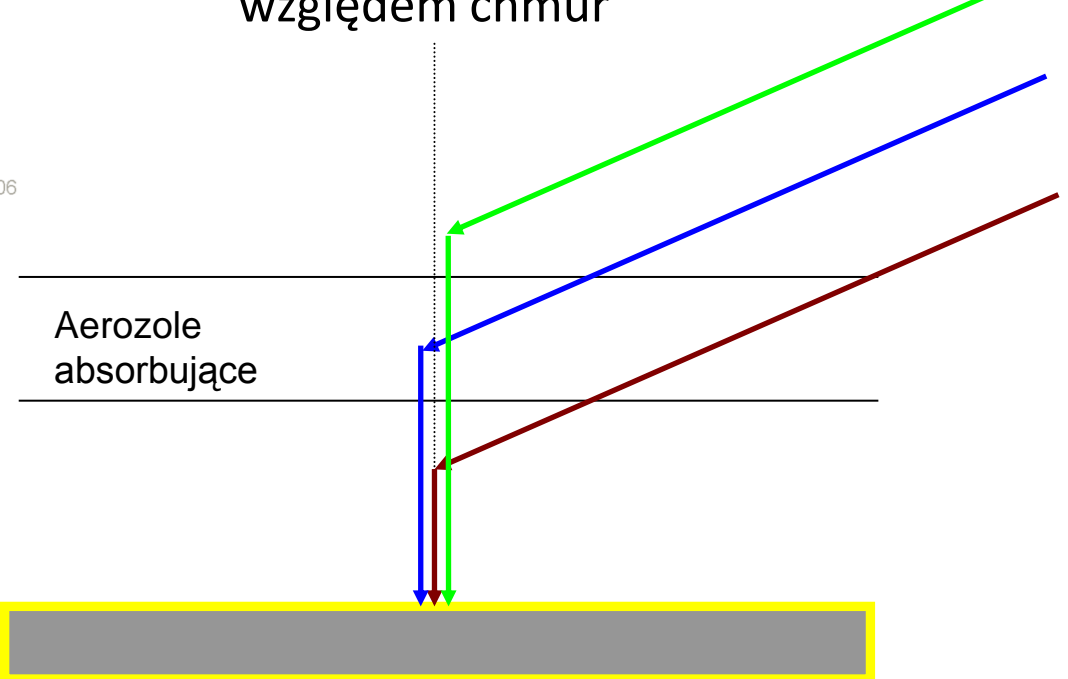
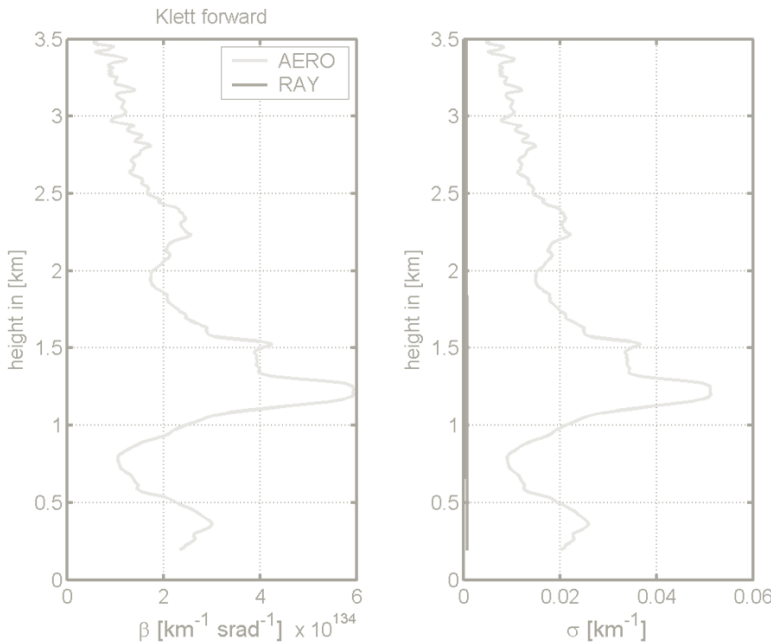
Główne przyczyny dużych błędów w oszacowaniu RF BC.

- niska jakość emisji aerozoli absorbujących
- niewielka liczba pomiarów (brak wiarygodnych metod pomiarowych profili pionowych absorpcji)
- duże rozbieżność pomiędzy pomiarami i wynikami symulacji numerycznych
- silna zależność RF od wysokości BC
- uproszczenia w procesach mikrofizycznych chmur
- problem z definicją wymuszania radiacyjnego w przypadku cząstek silnie absorbujących

Dlaczego potrzebujemy pionowe profile własności absorbujących aerozolu?

Główne z następujących:

- 1) Lokalne ogrzewanie przez aerozol absorbujący
- 2) Wpływ wysokości warstwy aerozoli absorbujących na strumienie radiacyjne i wymuszanie radiacyjne
- 3) Położenie aerozolu absorbującego względem chmur



Aerozol silnie absorbujący i chmury

- Badania Koch et al. [2010] wskazują, że wpływ aerosolu absorbującego na system klimatyczny zależy od względnego położenia chmur i aerosoli.
- Cząstki absorbujące w chmurach powodują klasyczny efekt parowania chmury (semi-direct effect)
- Cząstki absorbujące po niżej podstawy chmury wzmacniają konwekcję i zachmurzenie
- Cząstki absorbujące po wyżej chmury stabilizują niższe warstwy atmosfery co prowadzi do wzrostu (w przypadku Sc) oraz spadku (w przypadku Cu) zachmurzenia.

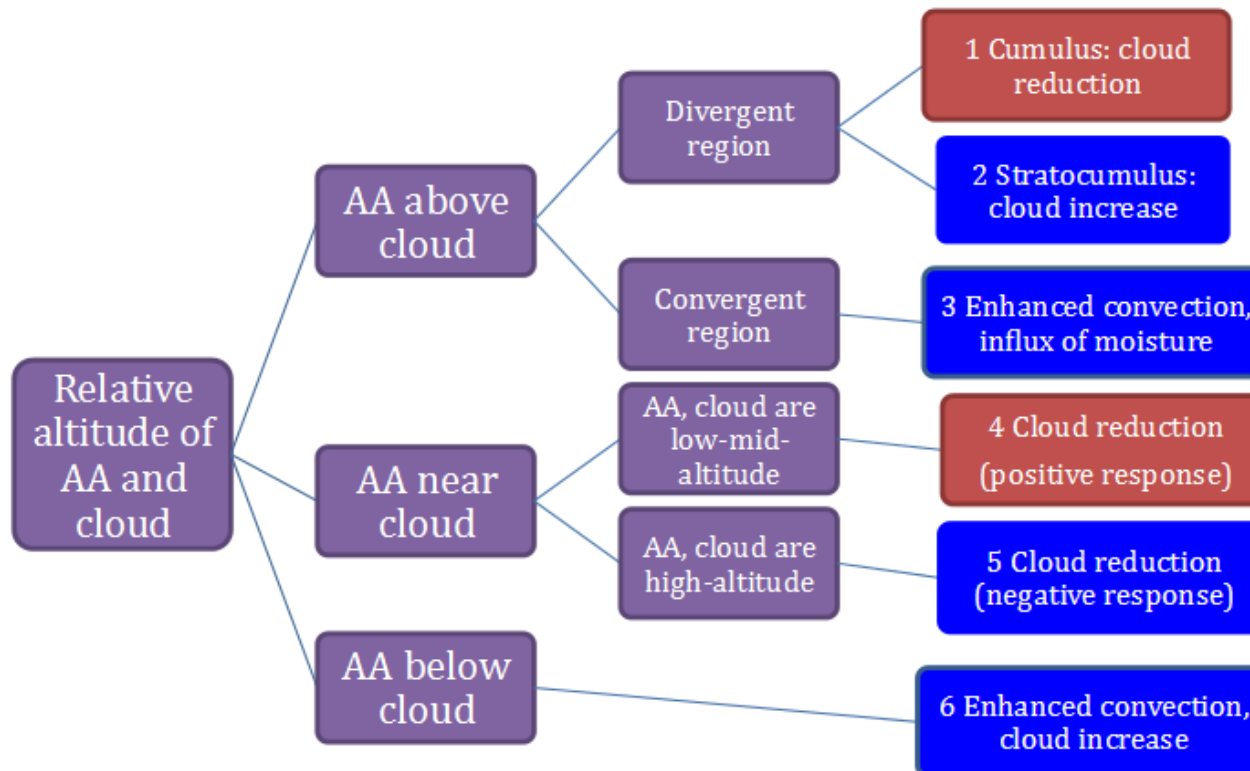
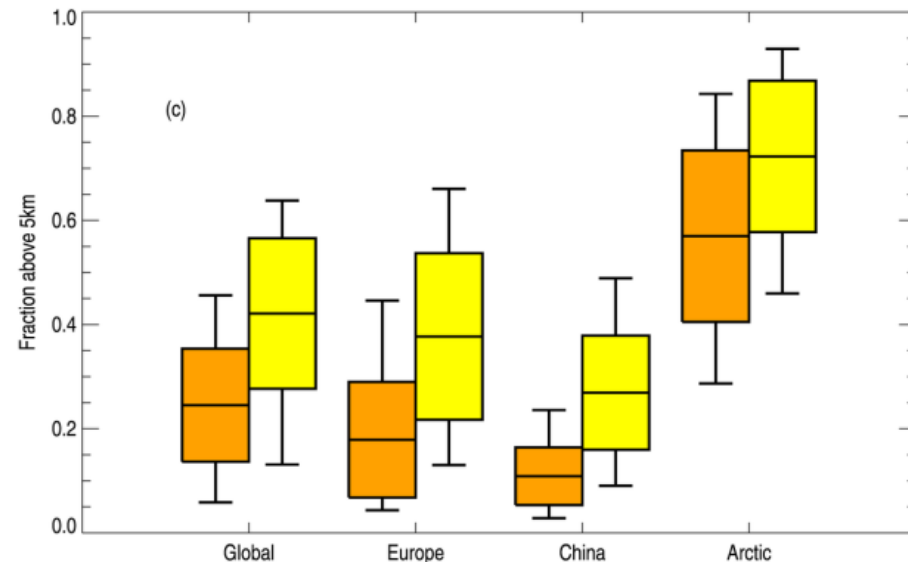


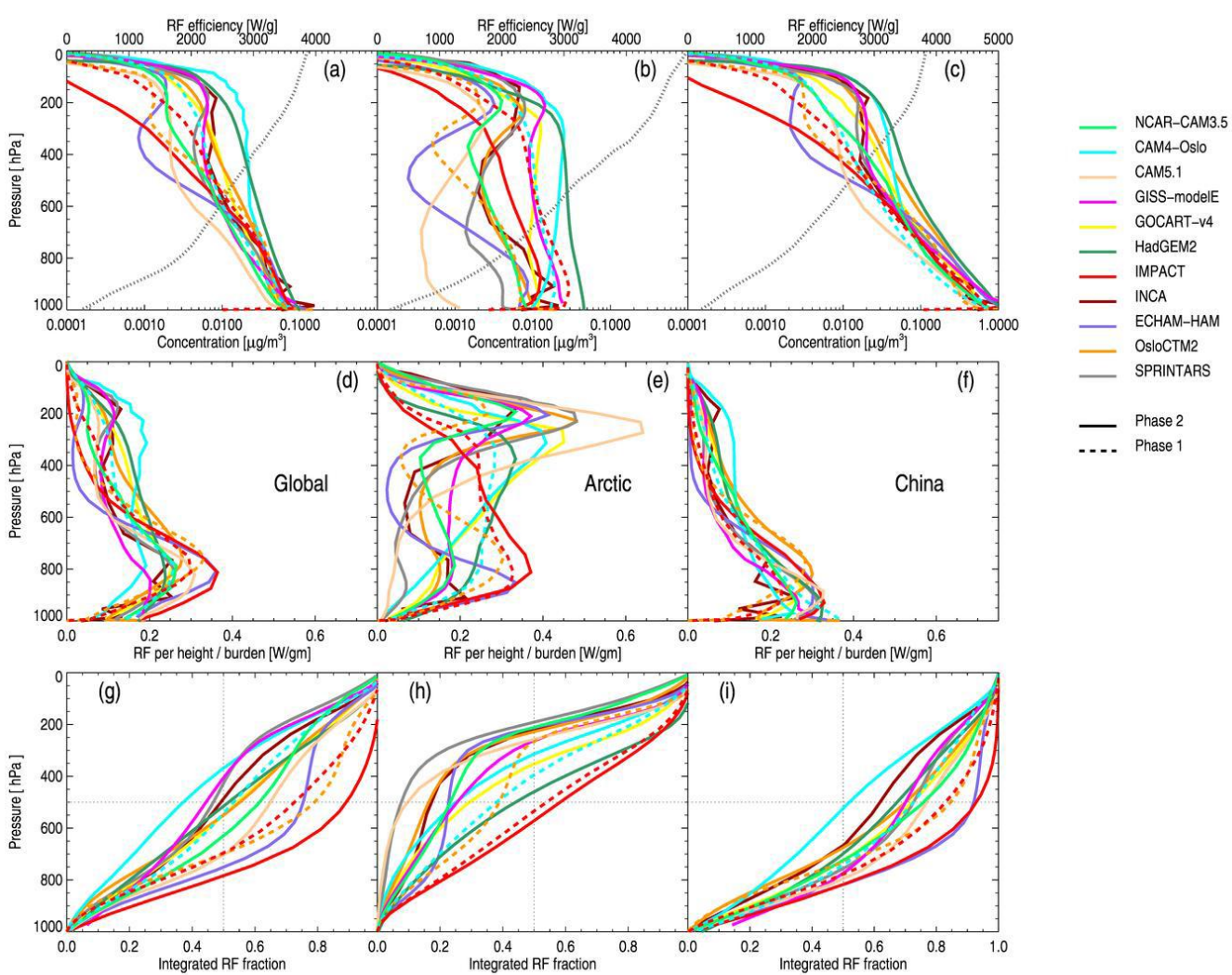
Fig. 1. Suggested framework to organize aerosol absorption effects on cloud cover. Red and blue indicate positive and negative semi-direct effects.

Wpływ wysokości częstek absorbujących na wymuszanie radiacyjne

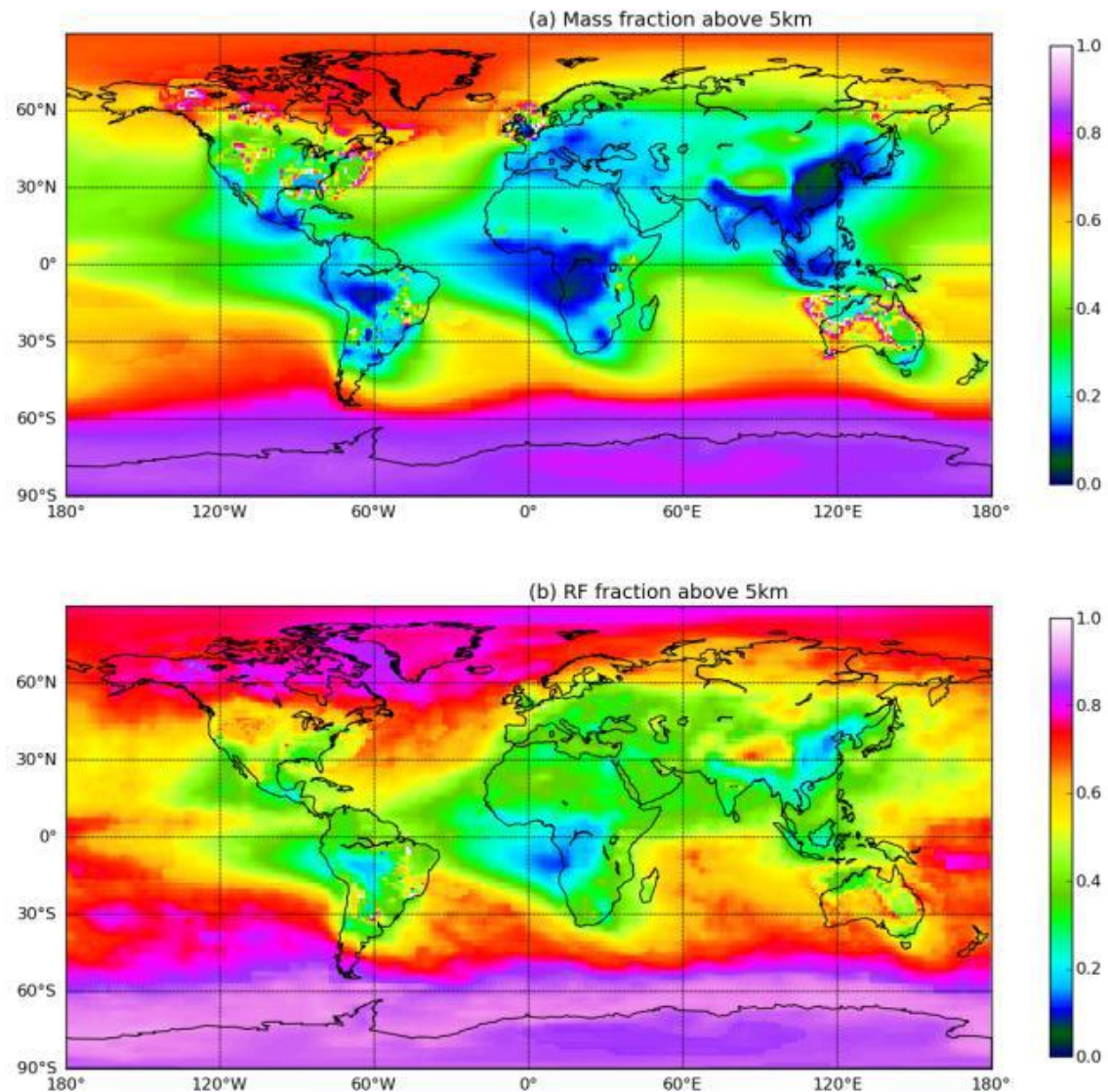
Region	Burden [mg/m ²]	RF [W/m ²]	NRF [W/g]	RF fraction [%]	MASS> 5km [%]	RF>5km [%]
GLOBAL	0.19	0.37	1835	100	23.8	42.2
ARCTIC	0.10	0.39	3806	2.85	61.5	73.0
EUROPE	0.37	0.52	1401	1.51	16.6	37.0
CHINA	1.10	1.42	1270	7.41	10.4	26.9

Modeled BC burden, RF calculated by use of full 3D efficiency profiles (RF) and forcing per gram (NRF). All numbers shown for global mean and for three selected regions. RF_fraction shows the fraction of the total BC forcing simulated within the stated region. M>5km and RF>5km show the fractions of aerosol mass and RF, respectively, simulated above an altitude of 5km (500hPa)

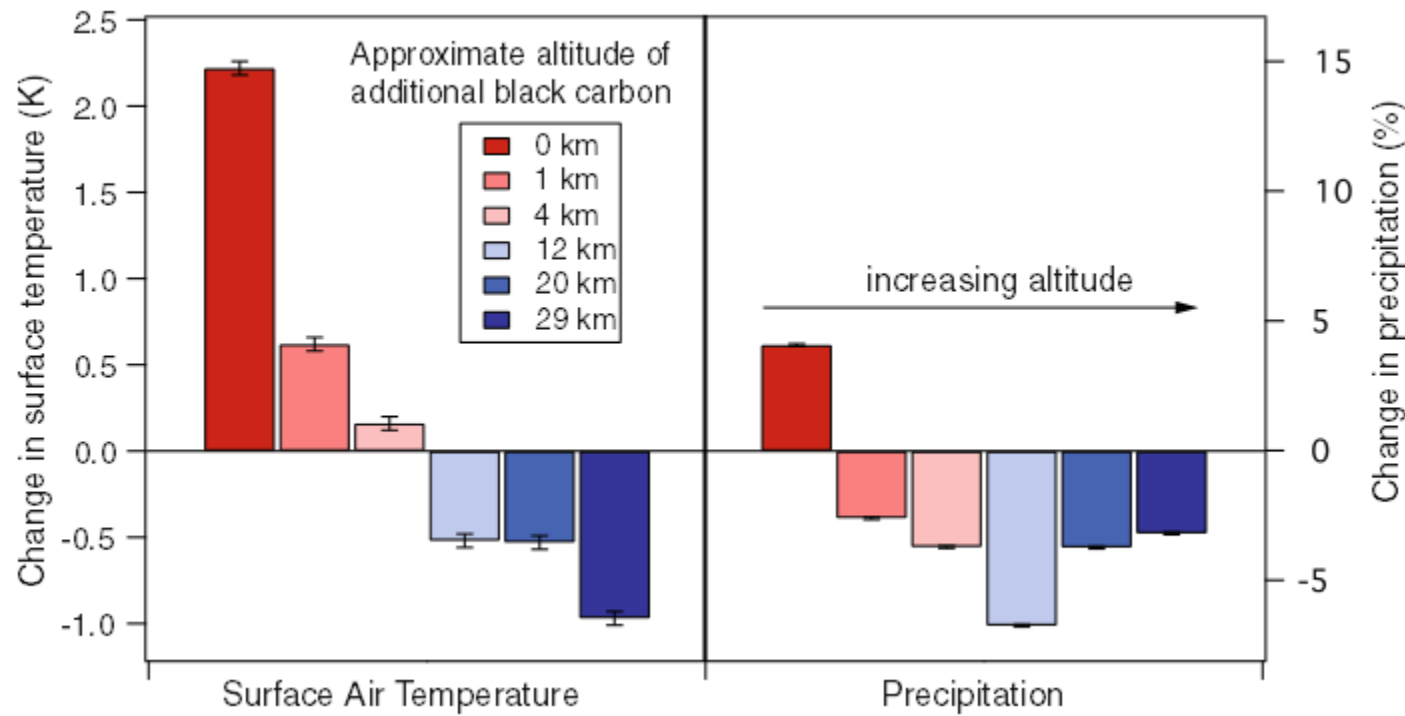




- Comparison of modeled concentration and RF profiles. (a-c) BC concentration vertical profiles, global mean and for two selected regions. Overlain is the annual mean forcing efficiency profile for the selected region (grey dashed line). Solid lines show AeroCom P2 submissions, dashed lines show P1. (d-f) BC RF per height, divided by the modeled global mean BC burden, globally and for three selected regions. (g-i) Vertical profile of integrated absolute BC RF. Lines indicate the 50% mark and 500hPa altitude.



- Black carbon mass and induced forcing at high altitudes. (a) Fraction of modeled BC mass above 5km. (b) Fraction of modeled BC RF originating above 5km.



Wpływ wysokości warstwy BC na zmiany temperatury powietrza przy powierzchni ziemi oraz opadów (George et al., 2011). Symulacje wykonane modelem klimatu CAM3.1 poprzez dodanie 1Mt BC na różnych wysokościach.

Wpływ cząstek absorbujących na albedo śniegu i RF

W raporcie IPCC z 2007 stwierdzono (rozdział 2, AR4, Forster et al., 2007), że wymuszanie radiacyjne związane z depozycją cząstek silnie absorbujących na śniegu wynosi $+0.1 \pm 0.1 \text{ W/m}^2$.

Depozycja sadzy zmniejsza albedo śniegu i lodu o 1.5% w Arktyce i 3% na całej półkuli północnej. Prowadzi to do wymuszania radiacyjnego 0.3 W/m^2 na półkuli północnej (Hansen and Nazarenko, 2004)

Ponadto, że wymuszanie radiacyjne ma ok. 2-4 razy większą efektywność (liczoną względem zmian temperatury powietrza) niż CO_2 .

W najnowszym raporcie efekt radiacyjny cząstek absorbujących został oszacowany na 0.04 (0.02 to 0.09) W/m^2 .

Table 1. Measured BC amount and calculated visible snow albedo change

Location	Observed A_v , %	BC amount, ppbw	Calculated ΔA_v , %			
			New snow		Old snow	
		Ext	Int	Ext	Int	
Arctic, 1980s	$\approx 90\text{--}97$	10 (low)	0.8	1.5	2.5	4.5
		30 (mean)	1.9	3.2	6.0	9.5
NH land	$\approx 88\text{--}95$	20 (low)	1.5	2.5	4.5	7.7
		60 (high)	3	5	9	14
Greenland		2 (low)	0.3	0.5	0.7	1.2
		6 (high)	0.5	0.9	1.7	3.0
Antarctica		0.2 (South Pole)	.05	0.1	0.1	0.2
		2.5 (Ross Shelf)	0.3	0.5	0.8	1.5

NH, Northern Hemisphere; Ext, external mixing; Int, internal mixing.

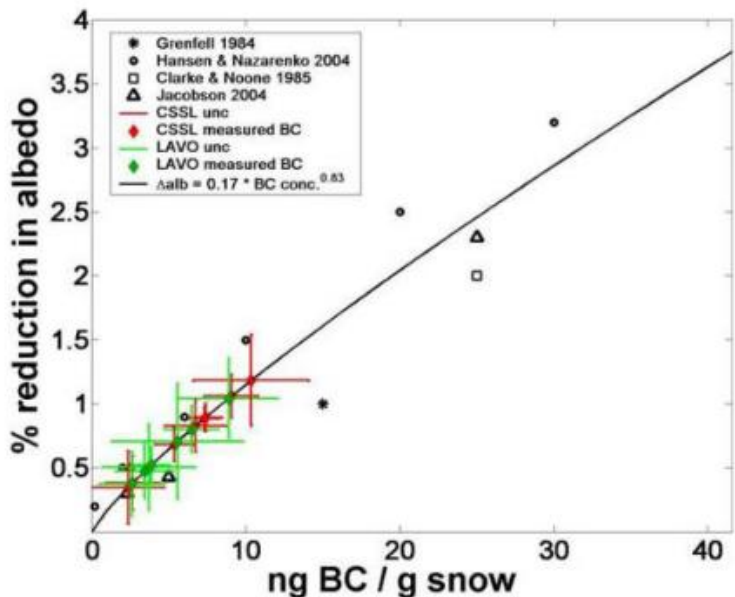


Fig. 2. Model results for BC induced albedo reduction on snow and subsequent potential for measured BC concentrations in falling snow at LAVO and CSSL to reduce snow surface albedo.

- Hadley et al., 2010.

Różnice pomiędzy mierzonym i symulowanym albedem śniegu przy założeniu mieszaniny zewnętrznej i wewnętrznej. Model mieszaniny zewnętrznej wykazuje 2 razy mniejszy błąd w porównaniu do modelu mieszaniny wewnętrznej

Zarówno ilość cząstek absorbujących zdeponowanych na śniegu jak i wielość kryształów/wiek pokrywy śnieżnej powoduje redukcję albeda (Flanner et al., 2007)

Symulacje numeryczne zmian albeda śniegu

Table 2. Specified snow and ice albedo changes

Experiment	Arctic, %	NH land, %	Antarctica, %	Rest of SH, %
Case 1	2.5 (vis λ)	5 (vis λ)	0	1 (vis λ)
Case 2	2.5 (vis λ)	5 (vis λ)	0	0
Case 3	0	5 (all λ)	0	0
Case 4	2.5 (all λ)	0	0	0

NH, northern hemisphere; SH, southern hemisphere.

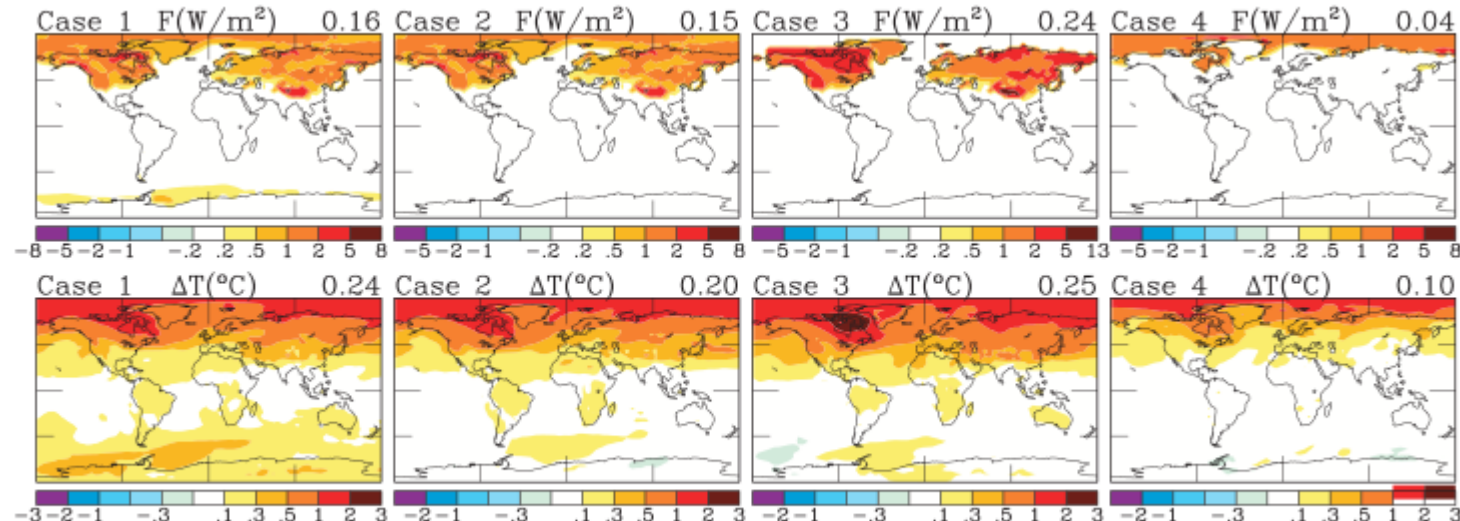


Fig. 1. Climate forcing in W/m^2 (Upper) and equilibrium annual-mean T_s response in $^\circ\text{C}$ (Lower) for changes of snow and ice albedos specified in Table 2. Numbers on the upper right are global means.

Hansen and Nazarenko, 2004

Efektywność wymuszania radiacyjnego w przypadku sadzy zdeponowanej na śniegu jest dwukrotnie większa niż CO_2 .

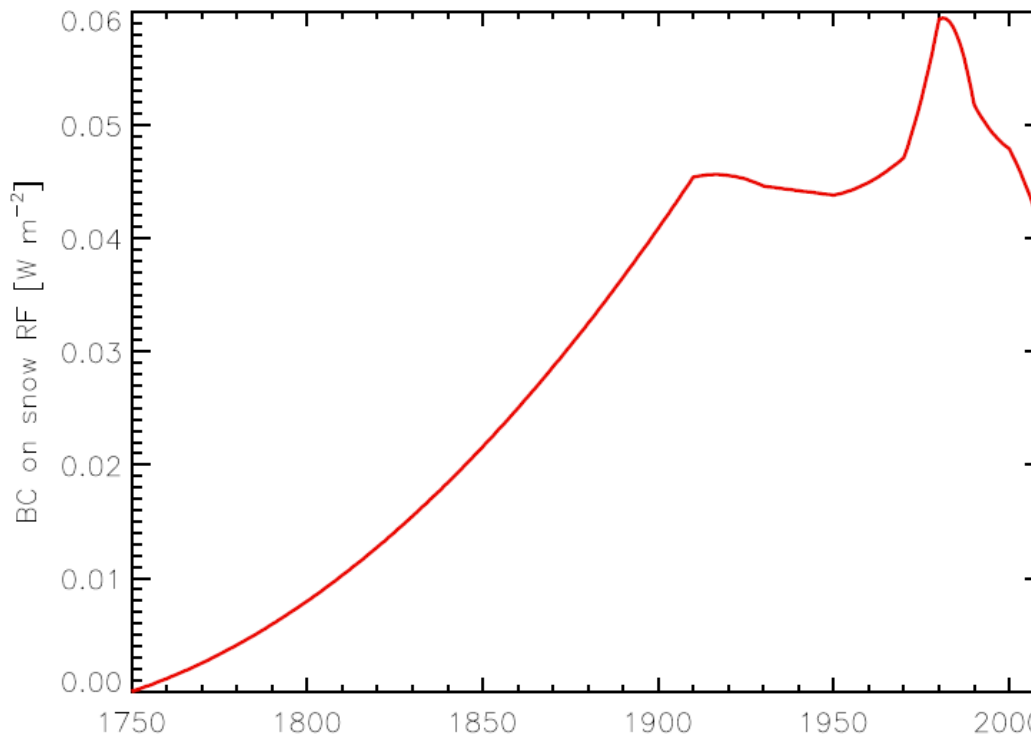
Table 3. Climate forcings and their efficacies

Experiment	Forcing, W/m^2		Response, $\Delta T, ^\circ\text{C}$	Efficacy		
	F_I	F_a		E_I	E_a	$F_c, \text{W}/\text{m}^2$
2 × CO_2	4.05	3.63	2.57	1.00	1.00	3.63
Case 1	0.17	0.16	0.24	2.22	2.12	0.34
Case 2	0.16	0.15	0.20	1.97	1.88	0.28
Case 3	0.23	0.24	0.25	1.71	1.47	0.35
Case 4	0.04	0.04	0.10	3.94	3.53	0.14

Instantaneous RF

adjusted RF

Zmiany czasowe wymuszania radiacyjnego związanego ze zmianą albeda śniegu wskutek depozycji sadzy.



- Time evolution of RF due to BC on snow and ice. The simulations are mainly based on the ACCMIP multi-model study by Lee et al. for the years 1850, 1930, 1980, and 2000. Additional simulations with one model were performed for the years 1750, 1950, 1970, 1990 and 2010.

Wymuszanie radiacyjne wszystkich aerozoli znajdujących się w atmosferze

D02203

KIM AND RAMANATHAN: SOLAR RADIATION BUDGET AND FORCING

D02203

Table 5. Annual Mean Clear-Sky Aerosol Radiative Forcing at TOA and the Surface Over Global Ocean Derived With Different Methods and Data

Case	TOA	Surface	Period/Region	Sources
MACR_BL	-6.0 ± 1.0	-9.7 ± 1.5	2000–2002	present study: MACR simulations from MISR AOD
MODIS	-5.6 ± 1.0	-9.0 ± 1.5	2000–2002	present study: MACR simulations from MODIS AOD
MISR+AERONET	-5.0 ± 0.8	-8.2 ± 1.3	2000–2002	present study: MACR simulations from MISR+AERONET AOD
MODIS_A	-5.9	-	2001–2002	<i>Remer and Kaufman [2006]</i>
MODIS_B	-6.4	-8.9	2002 ($60^{\circ}\text{S} \sim 60^{\circ}\text{N}$)	<i>Bellouin et al. [2005]</i> ; the latitudinal mean between 60°S and 60°N for the present study ranges from -5.3 to -6.2.
CERES_A	$-3.8 \sim -5.5$	-	2000–2001	<i>Loeb and Manalo-Smith [2005]</i>
CERES_B	$-3.6 \sim -5.6$	-	2000–2003 ($35^{\circ}\text{S} \sim 35^{\circ}\text{N}$)	<i>Loeb and Kato [2002]</i> ; the latitudinal mean between 35°S and 35°N for the present study ranges from -5.5 to -6.0.
MODIS_CERES	-5.3 ± 1.7	-	2000–2001	<i>Christopher and Zhang [2004], Zhang et al. [2005a, 2005b]</i>
MODIS_GO	-4.5	-9.9	2000–2001	<i>Yu et al. [2004]</i> : MODIS+ GOCART AOD
POLDER	$-5.0 \sim -6.0$	-	1996–1997	<i>Boucher and Tanre [2000]</i>
SeaWiFS	-5.4	-5.9	1997–1998	<i>Chou et al. [2002]</i>